



مقاله پژوهشی

بررسی سنگ‌شناسی و پتروژن بازالت‌های نئوژن گزبلند، شمال غرب شهربابک

مليحه گلستانی*

گروه زمین‌شناسی، دانشکده علوم پایه، دانشگاه ولايت، ايران‌شهر، ايران

دریافت مقاله: ۱۴۰۰/۰۵/۲۰، پذیرش: ۱۳۹۹/۰۵/۲۸

چکیده

منطقه گزبلند در شمال غرب شهرستان شهربابک، در غرب استان کرمان واقع است. بازالت‌ها با سن پلیو-پلیستوسن، در این منطقه گسترش نسبتاً محدودی دارند. بافت غالب این سنگ‌ها میکرولیتی پورفیری است که شامل کانی‌های اصلی الیوین، کلینوپیروکسن و پلاژیوکلاز و کانی‌های ثانویه کلسیت، کلریت، اکسیدهای آهن و کانی‌های کدر است. بر اساس داده‌های ژئوشیمیابی، بازالت‌های منطقه گزبلند ماهیت ساب آلکالن و کالک‌آلکالن دارند. غنی شدگی در REE، Th، LILE و U نسبت به HFSE، Ti و Hf (Ta) و REE (HREE) بیانگر وابستگی این سنگ‌ها به محیط فرورانش و حاشیه فعال قاره‌ای است. بر اساس نسبت‌های عنصری و نمودارهای مختلف، رخداد ذوب‌بخشی و تشکیل ماگما‌ی سازنده بازالت‌های گزبلند، حدود ۸۰ تا ۱۰۰ کیلومتری، یعنی منطبق بر گوشه آستنوسفری و عمق پایداری لرزولیت گارنت‌دار است. منبع گوشه‌ای این بازالت‌ها، توسط سیال آبدار مشتق شده از پوسته اقیانوسی فرورونده در فرایند فرورانش کمی غنی شده است. این ماگما در حین صعود، فرایند AFC را نیز تحمل کرده است.

واژه‌های کلیدی: بازالت، کمان آتش‌شانی، لرزولیت گارنت‌دار، گزبلند، شهربابک

مقدمه

(2007). ماگماتیسم در مجموعه آتش‌شانی-نفوذی ارومیه-دختر در اوایل ائو سن شروع شد و تا پلیستو سن ادامه یافت. اوج ولکانیسم در ائو سن میانی تا بالایی رخداده است (Berberian and King, 1981; Alavi, 1994 قاره‌ای بین صفحه‌های ایران و عربی در طول میوسن بالایی یا قبل از آن که به کوتاه شدگی و ضخیم شدگی پوسته قاره‌ای در لبه غربی صفحه ایران منجر شده است و تا امروز نیز ادامه دارد،

تکامل ژئودینامیکی سنوزوئیک ایران تحت سیطره فرورانش مدام نتوتیس به زیر خرد قاره ایران مرکزی قرار دارد. حرکت صفحه عربستان به طرف شمال شرقی، در طول ائو سن تا میوسن باعث ایجاد ولکانیسم گستردۀ ناشی از فرورانش، در کمربند آتش‌شانی-نفوذی ارومیه-دختر شد (Forster et al., 1972; Jung et al., 1976; Berberian et al., 1982; Ahmad and Posht Kuhi, 1993; Alavi, 2004; Shahabpour,

ماسه سنگ‌های سازند سرخ پایینی با ضخامت بیش از ۲۵۰ متر و سازند قم با لایه‌های سنگ آهک به همراه میان‌لایه‌هایی از مارن‌های هوازده خاکستری رنگ به سن میوسن زیرین و ضخامت ۸۰ متر و همچنین سازند سرخ بالایی با سنگ‌های رسی- توفی قمز رنگ، کوارتز خاکستری و ماشه سنگ به همراه کربنات و کنگلومراها با ضخامتی حدود ۲۰۰ متر در بخش شرقی و شمال‌شرقی منطقه مورد بررسی، به طور هم‌شبی بر روی هم قرار گرفته‌اند. همچنین در منطقه گربلند سنگ‌های آتشفشاری شامل بازالت، آندزیت بازالتی، تراکی آندزیت و تراکی بازالت و واحد نفوذی دیوریت پورفیری به همراه ماشه سنگ و کنگلومرای پلیو- پلیستوسن رخمنون دارند (شکل ۱-B). بازالت‌های نئوژن گربلند به صورت روانه‌هایی با گسترش نسبتاً محدود در این منطقه بروزن زد یافته‌اند (شکل ۲-A). این سنگ‌ها به رنگ خاکستری روشن تا تیره، به دلیل ویسکوزیته پائین گدازه بازالتی، اغلب به صورت تپه‌ماهوری با مورفلوژی پست دیده می‌شوند (شکل ۲-A و B). رخمنون‌های بازالتی در بعضی قسمت‌ها دارای ساخت متراکم بوده، تازه و سالم به نظر می‌رسند (شکل ۲-B)؛ اما در برخی جاهای، به دلیل هوازدگی و فرسایش دچار خردشده‌گی شده‌اند؛ به طوری که به قطعات بسیار ریز تا قطر ۱-۲ سانتی متر تبدیل شده‌اند. بازالت‌های منطقه گربلند گاهی بر روی ماشه سنگ و کنگلومراهای نئوژن قرار گرفته‌اند (شکل ۱-B). با توجه به جوانبودن و لکانیسم در این منطقه، این سنگ‌ها خیلی کمتر تحت تأثیر عملکرد فرایندهای هوازدگی و دگر سانی قرار گرفته‌اند؛ به طوری که ویژگی‌های ماگمایی اولیه را می‌توان در آنها مشخص کرد.

روش انجام پژوهش

پس از بررسی و نمونه‌برداری صحرایی (تعداد ۳۱ نمونه)، برای بررسی‌های سنگ‌نگاری از نمونه‌های برداشت شده مقطع نازک تهیه شد. پس از بررسی‌های سنگ‌نگاری، برای بررسی ویژگی‌های ژئوشیمیایی سنگ‌های منطقه، تعداد ۱۰ نمونه مناسب انتخاب شد و در شرکت کانسaran بینالود، عناصر اصلی به

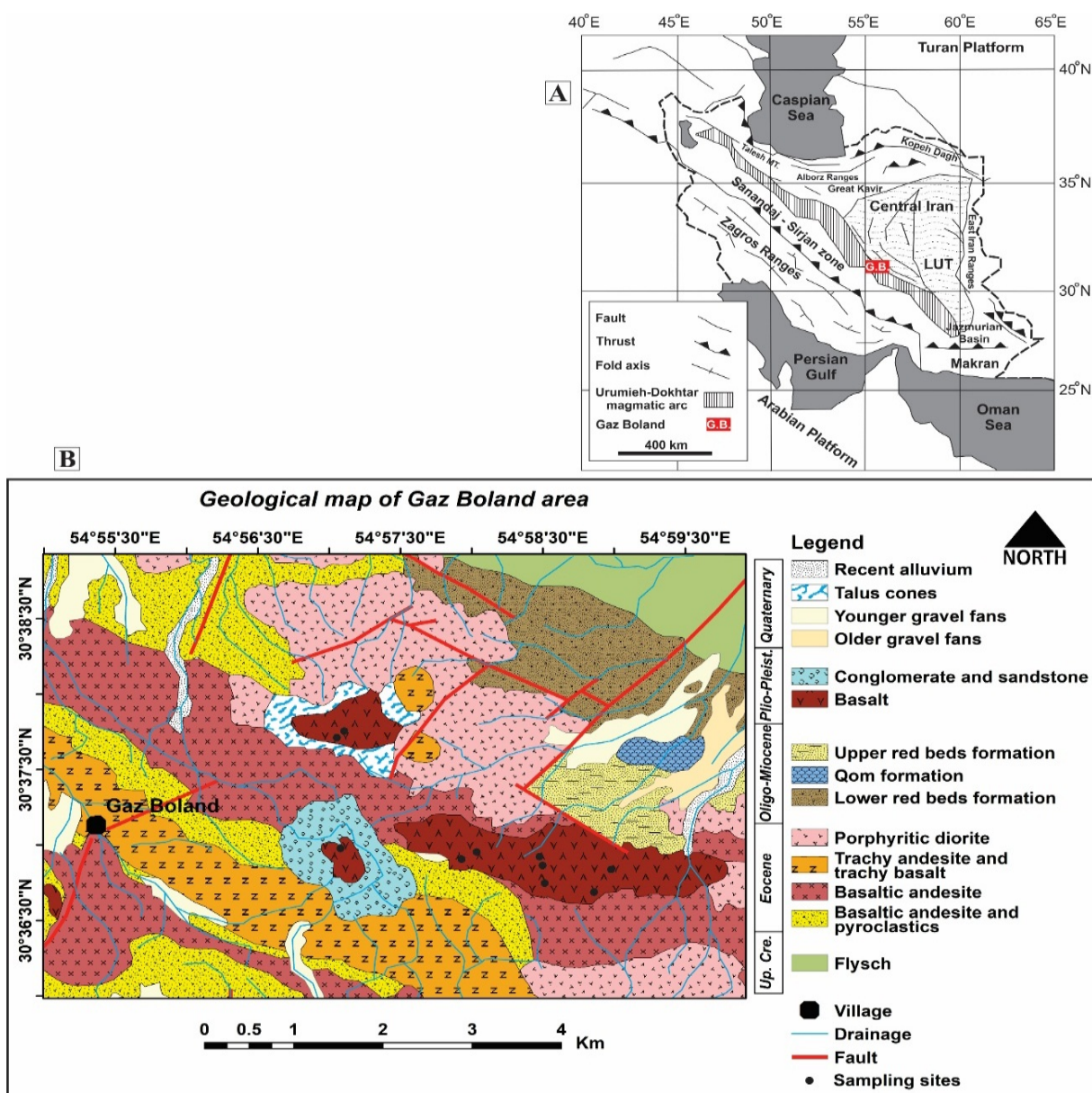
McQuarrie et al., 2003; Omrani et al., 2008) دنبال شده است (بالایی تا الیگوسن رخداده است (Jolivet and Faccenna, 2000; Agard et al., 2005; Vincent et al., 2005; Ballato et al., 2010) به دنبال رویداد برخورد، ولکانیسم در برخی از قسمت‌های کمربند آتشفشاری- نفوذی ارومیه- دختر مانند ولکانیسم بازیک پلیستوسن در منطقه شهربابک در غرب کرمان به طور چشمگیری ادامه یافت؛ لذا بازالت‌های نئوژن ناحیه کرمان در منطقه گربلند به عنوان آخرین فعالیت ماگمایی این بخش از ایران شناخته می‌شوند. فعالیت‌های ماگمایی پس از میوسن کمربند آتشفشاری- نفوذی ارومیه- دختر از دید ماگمایی و زمین ساخت اهمیت شایان توجهی دارند و بررسی آنها کمک عمده‌ای به شناخت یک محیط پس از برخوردی خواهد کرد. از آنجایی که می‌توان از منشأ و گرایش ژئوشیمیایی گدازه‌های بازالتی برای درک بهتر تکامل زمین ساخت منطقه کمک گرفت (Pearce and Gale, 1977)؛ در این مقاله سعی شده است تا با استفاده از شواهد سنگ‌شناختی و ویژگی‌های ژئوشیمیایی بازالت‌های منطقه گربلند، تصویر روشن‌تری از وضعیت ماگمایی و زمین ساخت کمربند آتشفشاری- نفوذی ارومیه- دختر در نئوژن ارائه کرد و گرایش ژئوشیمیایی، جایگاه تکتونوماگمایی و منشأ ماگمایی این سنگ‌ها را به گونه‌ای مناسب مشخص کرد.

زمین‌شناسی منطقه

منطقه گربلند در شمال‌غرب شهرستان شهربابک، واقع در غرب استان کرمان، بین مختصات جغرافیایی $30^{\circ}39' \text{ تا } 30^{\circ}36'$ عرض شمالی و $54^{\circ}55' \text{ تا } 55^{\circ}00'$ طول شرقی واقع شده است. این منطقه از لحاظ تقسیم‌بندی زون‌های زمین‌شناسی و ساختاری ایران، در کمربند دهچ- ساردوئیه واقع در جنوب شرقی کمربند آتشفشاری- نفوذی ارومیه دختر قرار گرفته است (شکل ۱-A). در این منطقه، واحدهای سنگی مربوط به سنوزوئیک (از ائوسن تا پلیو- پلیستوسن) را می‌توان مشاهده کرد (شکل ۱-B). بر اساس بررسی‌های صحرایی و همچنین نقشه زمین‌شناسی (Djokovic et al., 1973) ۱:۱۰۰۰۰۰ دهچ، شیل‌های قرمز و

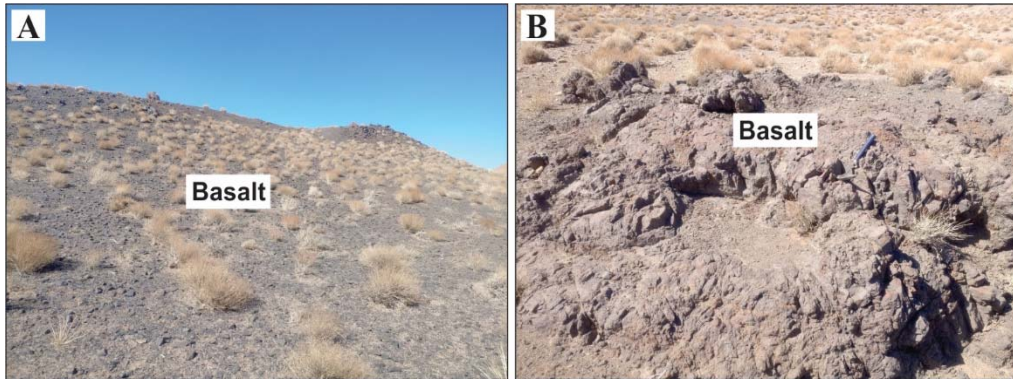
درآمده و سپس توسط دستگاه با حد تشخیص ppm تا بیشینه ۱ درصد خوانش شد. در تفسیر نتیجه تجزیه‌ها و رسم نمودارها از نرم‌افزارهای Corel Draw و GCDKit استفاده شد و نقشه زمین‌شناسی منطقه با استفاده از نرم‌افزار Arc GIS ترسیم شد.

روش XRF و عناصر کمیاب به روش ICP-MS تجزیه شدند. در روش XRF، عناصر MnO , P_2O_5 و TiO_2 بیشینه تا ۵ درصد گزارش می‌شوند و L.O.I نیز در دمای ۱۰۰۰ درجه سانتی گراد اندازه گیری شد. در روش تجزیه با دستگاه ICP-MS، نیز نمونه‌ها توسط محلول ۴ اسید به صورت محلول



شکل ۱. A: نقشه ساختاری ایران که موقعیت منطقه گربلند در پهنه‌های ساختاری ایران را نشان می‌دهد (ترکیب شده از علوی (Alavi, 1991) و بربریان (Djokovic et al., 1973)) و B: نقشه زمین‌شناسی منطقه گربلند، برگرفته از نقشه ۱:۱۰۰،۰۰۰ دهجه (Berberian, 1981)

Fig. 1. A: Structural map of Iran showing the main structural units and locations of the Gaz Boland area (compiled and modified from Alavi (Alavi, 1991) and Berberian (Berberian, 1981)), and B: Simplified geological map of the Gaz Boland area (modified from Geological map of Iran, 1:100000 Series, Dehaj (Djokovic et al., 1973)



شکل ۲. A: واحد بازالتی در غرب منطقه گزبلند و B: رخمنون توده بازالتی با ساخت تقریباً متراکم در منطقه گزبلند

Fig. 2. A: Basaltic unit in the west of Gaz Boland area, and B: Outcrop of basaltic massif with an almost dense structure in the Gaz Boland area

زود هنگام الیوین سبب می‌شود که این کانی از نظر ترمودینامیکی با مانگما م وجود در حال تعادل نبوده و در نتیجه تحت تأثیر تغییر در ترکیب شیمیایی مانگما، هضم و به صورت گرد شده درآید (Augustithis, 1979). عدم تعادل مانگما می‌سبب واکنش الیوین با مانگما و ایجاد حاشیه‌های خورده شده و خلیج مانند در آن می‌شود که در این حالت بلور از حالت پایدار به حالت ناپایدار تبدیل شده است (Cox et al., 1979). همچنین حضور حباب‌های گاز در مجاورت سطح بلور، سبب خوردگی بلورهای الیوین موجود در سنگ‌های آتش‌فشاری می‌شود (Ghasemi and Fattahi, 2004).

علاوه بر این، الیوین‌های موجود در سنگ‌های منطقه دارای شکستگی‌های عرضی قابل توجهی هستند. وجود شکستگی‌های فراوان در این بلورها، سبب ایدینگسیتی شدن آنها در طول شکستگی‌ها و حاشیه بلور شده است (شکل E-۳). درشت‌بلورهای کلینوپیروکسن به شکل‌های منشوری تابی‌شکل دیده می‌شوند که گاه اورالیتی شده‌اند. از جمله ویژگی‌های بافتی شاخص در این کلینوپیروکسن‌ها، وجود بافت غربالی و ماکلهای دوتایی و تکراری است (شکل G-۳). کلینوپیروکسن‌ها بر اساس زاویه خاموشی از نوع دیوبسید تا اوژیت هستند. این کانی‌ها با اندازه متوسط ۰/۵ تا ۳/۵ میلی‌متر، ۱۸ تا ۲۰ درصد حجمی این سنگ‌ها را تشکیل می‌دهند. این بلورها به صورت خودشکل و بیشتر به صورت نیمه‌شکل دار و بی‌شکل تا گرد شده بوده که گاهی دارای حاشیه‌های خورده شده و خلیج مانند هستند (شکل F-۳). بلور

سنگ‌نگاری

بررسی‌های سنگ‌نگاری بازالت‌های منطقه نشان می‌دهد که بافت اصلی این سنگ‌ها میکرو‌لیتی پورفیری و گلومروپورفیری (شکل ۳-A و B) است. علاوه بر این، بافت‌های جریانی (شکل D-۳)، ایترگرانولار (شکل C-۳) و غیرتعادلی (شکل F-۳) نیز به صورت محلی در این سنگ‌ها مشاهده می‌شود. بافت ایترگرانولار به همراه بافت جریانی در گدازه‌های کواترنر دیده می‌شوند. درشت‌بلورها ۵۰ تا ۵۵ درصد حجمی کل سنگ را در بازالت‌های منطقه گزبلند تشکیل می‌دهند و به طور کلی شامل الیوین، کلینوپیروکسن و پلاژیوکلاز هستند که در زمینه‌ای غنی از میکرو‌لیت‌های پلاژیوکلاز و ریز بلورهای الیوین، کلینوپیروکسن و کانی‌های کدر قرار گرفته‌اند (شکل A-۳). کانی کدر، رایج‌ترین کانی فرعی موجود در این سنگ‌هاست که به صورت درشت‌بلور و ریز‌بلور در متن سنگ حضور دارد. همچنین کلسیت، کلریت و اکسیدهای آهن از کانی‌های ثانویه موجود در این سنگ‌ها هستند. ویژگی بارز این بازالت‌ها، وجود درشت‌بلورها و ریز‌بلورهای الیوین در این سنگ‌هاست. بر اساس بررسی‌های میکروسکوپی، درشت‌بلورهای الیوین با اندازه ۰/۵ تا ۳ میلی‌متر، گاهی تا ۲۵ درصد حجمی این سنگ‌ها را تشکیل می‌دهند. این بلورها به صورت خودشکل و بیشتر به صورت نیمه‌شکل دار و بی‌شکل تا گرد شده بوده که گاهی دارای حاشیه‌های خورده شده و خلیج مانند هستند (شکل F-۳). بلور

Pb، K، Cs و همچنین در عناصر Th و U غنی‌شدگی و در عناصر با شدت میدان بالا^۱ مانند Ta، Ti و Hf تهی‌شدگی نشان می‌دهند (شکل ۵-A). غنی‌شدگی از LILE به همراه تهی‌شدگی از HFSE، ویژگی شاخص مذاب‌های وابسته به کمان آتشفشاری است (Zanetti et al., 1999; Kuscu and Geneli, 2010; Karimpour et al., 2012; Malekian HFS, 2017). غلاظت عناصر (Dastjerdi et al., 2017) شیمی سنگ منشأ و فرایندهای بلور / مذاب، در طول تشکیل سنگ، کنترل می‌شود (Rollinson, 1993). لذا، تهی‌شدگی این عناصر می‌تواند نتیجه پایداری برخی از کانی‌های دیرگداز (مانند روتیل، تیتانومگنتیت، اسفن و ایلمینیت) در سنگ منشأ مذاب باشد؛ زیرا این عناصر، در این کانی‌ها به شدت سازگار هستند و در هنگام ذوب‌بخشی وارد مذاب نمی‌شوند و این سبب می‌شود که مذاب‌های مناطق فروزانشی و کمان‌های آتشفشاری از این عناصر تهی شوند (Ringwood, 1990; Pearce and Peate, 1995; Tabbakh Shabani et al., 2018). غنی‌شدگی از عناصر LIL نیز می‌تواند پیامد درجه‌های کم تا متوسط ذوب‌بخشی منشأ گوشه‌های، گوشته‌غنی‌شده (متاسوماتیزه) یا به عبارتی کنترل این عناصر توسط سیالات و در نتیجه تحرک عناصر هنگام دگرسانی باشد. از این رو، طی فرایند آب‌زدایی، عناصر HFS در صفحه فرورونده باقی می‌مانند؛ در حالی که عناصر LIL به راحتی به قسمت بالای گوشه‌های منتقل می‌شوند. از آنجایی که این عناصر در پوسته قاره‌ای تمرکز یافته‌اند، ممکن است غنی‌شدگی آنها، نشان‌دهنده آلایش Gill, 1981; Menzies and Wass, 1983؛ Pearce, 1983؛ Rollinson, 1993؛ Temizel et al., 2016) بی‌هنگاری مثبت عناصر Th و U نیز می‌تواند به علت افزوده شدن رسوبات پلاژیک و پوسته اقیانوسی دگرسان شده به منشأ و یا آلایش پوسته‌ای باشد (Fan at al., 2003; Kuscu and Geneli, 2010). همچنین بی‌هنگاری مثبت Pb نیز از ویژگی‌های متاسوماتیسم گوه گوشه‌های توسط سیالات ناشی از پوسته اقیانوسی فرورو و یا آلایش مانکما با پوسته قاره‌ای به شمار می‌رود (Hofmann, 1997; Kamber et al., 2002).

(H). درشت بلورهای پلاژیوکلاز، بیشتر به صورت تیغه‌ای و تقریباً شکل دار تا نیمه‌شکل دار از فراوانی اندکی برخوردار هستند (شکل H-۳). این کانی‌ها با اندازه ۰/۱ تا ۲ میلی‌متر، کمتر از ۱۰ درصد حجمی سنگ را به خود اختصاص داده‌اند و بر اساس زاویه خاموشی از نوع لاپرادوریت هستند. در غالب موارد مانکلهای پلی‌ستنتیک و آلبیتی در این بلورها دیده می‌شود (شکل H-۳ و I). علاوه بر این، در برخی از بلورهای پلاژیوکلاز، بافت غربالی به علت افت سریع فشار توسعه یافته است (شکل I-۳) (Nelson and Montana, 1992).

خوردگی خلیج مانند در بلورهای الیوین و وجود بافت غربالی و منطقه‌بندی در درشت‌بلورهای کلینوپیروکسن و پلاژیوکلاز، نشان‌دهنده عدم تعادل در حین تبلور مانگماست.

زمین‌شیمی

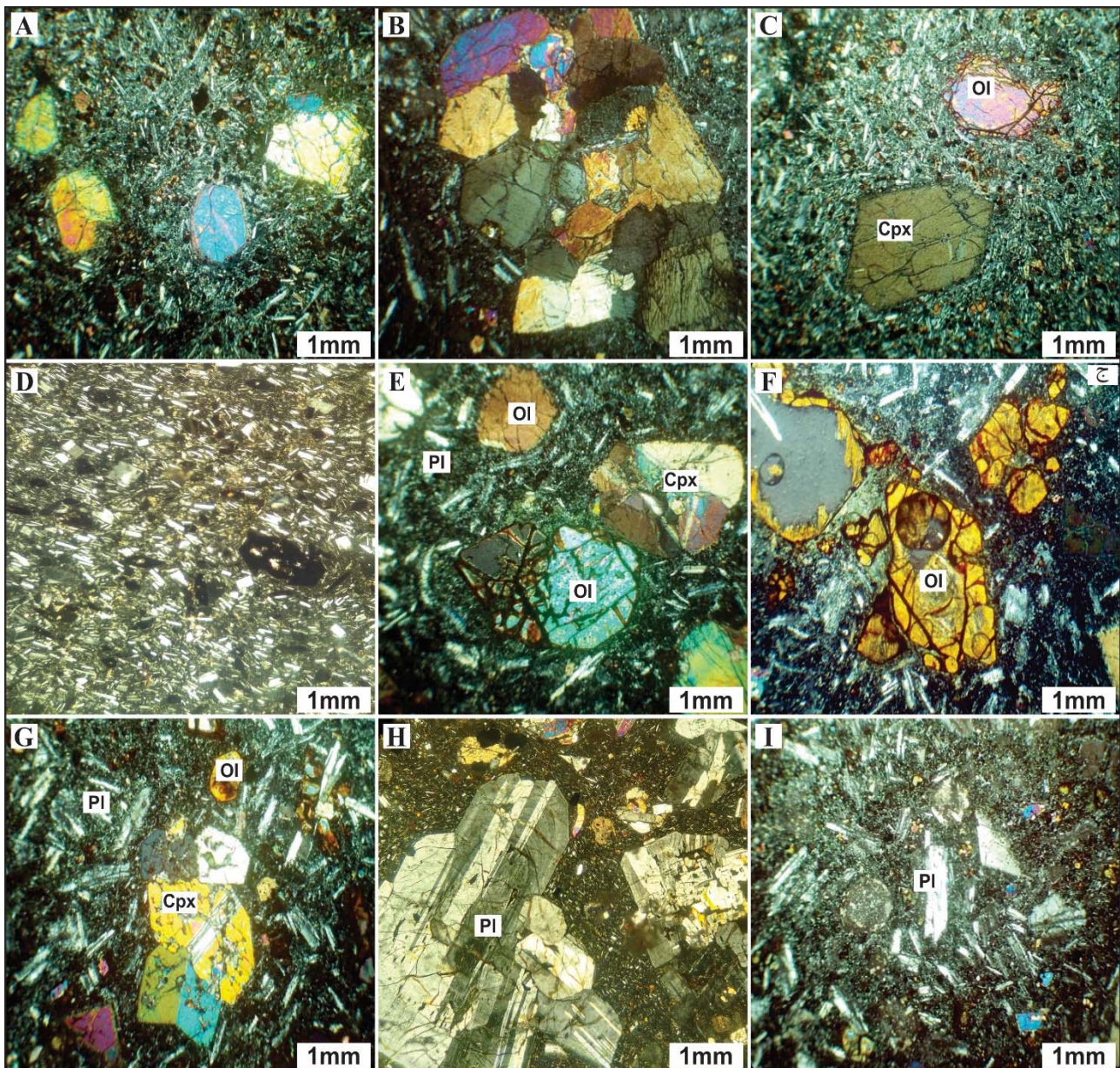
نتایج تجزیه شیمیایی سنگ‌های آتشفشاری نوژن گربلند در جدول ۱ آمده است. از ۱۰ نمونه تجزیه شده در ۸ نمونه سنگی، میزان SiO_2 ، بین ۴۹/۹۵ تا ۵۲/۰۶ درصد وزنی (گروه سنگ‌های بازیک) و در ۲ نمونه سنگی، میزان SiO_2 ۵۳/۴۸ و ۵۵/۲۷ درصد وزنی (گروه سنگ‌های حدواسط) است (جدول ۱). این سنگ‌ها در نمودار رده‌بندی TAS (Middlemost, 1994)، در محدوده بازالت و آندزیت بازالتی قرار می‌گیرند (شکل A-۴). بر مبنای نمودار SiO_2 در مقابل $\text{Na}_2\text{O}+\text{K}_2\text{O}$ (Irvine and Baragar, 1971) تمامی نمونه‌های منطقه مورد بررسی در محدوده ساب‌آلکالن واقع شده‌اند (شکل B-۴). بر این اساس، در نمودار Th در مقابل Co (Hastie et al., 2007) رده مانگماهی نمونه‌های گربلند، کالک‌آلکالن است و از نظر ترکیبی نیز در محدوده بازالت و آندزیت بازالتی جای گرفته‌اند (شکل C-۴).

عناصر کمیاب و خاکی کمیاب

بر پایه نمودارهای چند عنصری بهنجارشده با گوشه‌های اولیه (McDonough and Sun, 1995)، بازالت‌های گربلند در عناصر ناسازگار لیتوفیل با شعاع یونی بزرگ^۲ Ba، Rb،

1. LILE

2. HFSE



شکل ۳. تصویرهای میکروسکوپی بازالت‌های گرباند (تمامی تصویرها در نور XPL هستند). A: بافت میکروپریتی پورفیری حاصل قرارگیری درشت‌بلورهای الیوین و کلینوپیروکسن در زمینه میکروپریتی بازالت‌های منطقه گرباند، B: بافت گلومروپورفیری در بازالت‌های گرباند، C: بافت گرانولار در بازالت‌های گرباند، D: بافت جریانی در بازالت‌های گرباند، E: ایدنگسیتی شدن الیوین‌ها در طول شکستگی‌ها و حاشیه بلور، F: حاشیه‌های خورده شده و خلیج مانند در بلورهای الیوین، G: ماکل دوتایی و تکراری در کلینوپیروکسن، H: ماکل پلی‌ستنتیک در درشت‌بلورهای پلازیوکلاز و I: ماکل آلبیتی و بافت غربالی در پلازیوکلازهای منطقه گرباند. علائم اختصاری از ویتنی و اوائز (Whitney and Evans 2010) است. اقتباس شده است (OI: الیوین، Cpx: کلینوپیروکسن، Pl: پلازیوکلاز).

Fig. 3. Microscopic images of the Gaz Boland basalts (all images are in XPL light). A: Microlitic porphyric texture due to the placement of olivine and clinopyroxene phenocrysts in the microlithic background of basalts of the Gaz Boland area, B: glomeroporphyritic texture in the basalts of Gaz Boland, C: Intergranular texture in the basalts of Gaz Boland, D: Fluxion texture in the basalts of Gaz Boland, E: Iddingsitization of olivines during fractures and crystal margins, F: Corroded and embayed margins in olivine crystals, G: Double and polysynthetic twinning in clinopyroxene, H: Polysynthetic twinning in plagioclase phenocrysts, and I: Albite twinning and sieve texture in plagioclases of Gaz Boland area. Abbreviations after Whitney and Evans (2010) (OI: Olivine, Cpx: Clinopyroxene, Pl: Plagioclase).

جدول ۱. نتایج تجزیه ژئوشیمیایی عناصر اصلی و کمیاب بازالت‌های منطقه گربلند

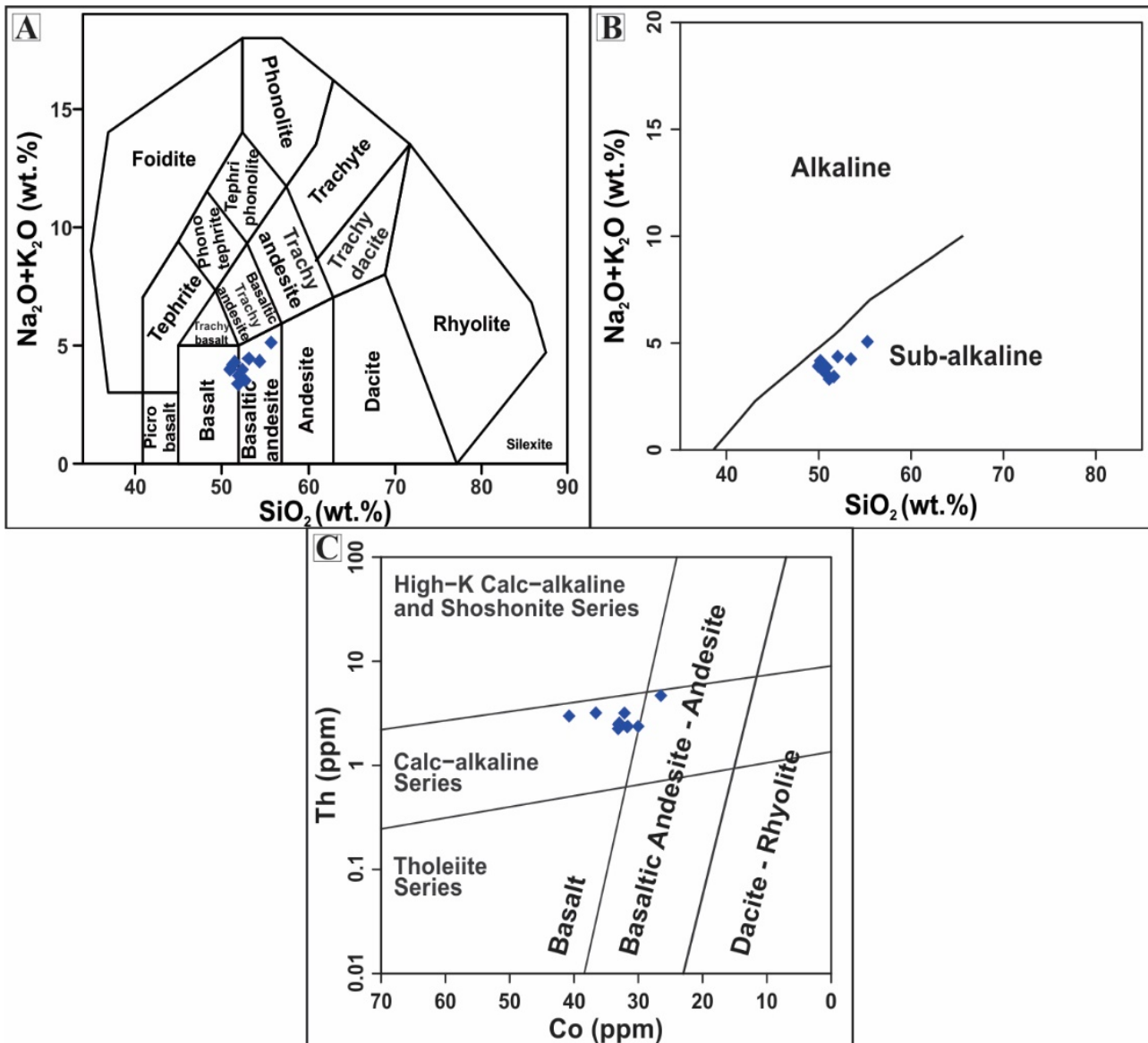
Table 1. Whole-rock major and trace element analyses of the Gaz Boland basalt rocks

Sample No.	KB-7	KB-8	KB-9	KB-10	KB-11	KB-12	KB-14	KB-15	KB-16	KB-17
(wt.%)										
SiO ₂	51.13	51.64	50.26	53.48	49.95	55.27	50.18	50.66	52.06	50.86
TiO ₂	0.88	0.87	0.78	1.01	0.88	1.03	0.90	0.94	0.93	0.95
Al ₂ O ₃	15.28	14.82	12.94	15.53	15.41	16.18	15.43	15.60	15.31	14.77
Fe ₂ O ₃	8.32	8.11	7.73	7.27	7.67	6.94	7.92	7.62	7.22	7.71
MnO	0.17	0.16	0.16	0.16	0.17	0.14	0.18	0.16	0.15	0.16
MgO	9.39	9.69	11.07	7.54	10.01	5.74	8.26	9.43	9.40	9.40
CaO	9.69	8.87	10.44	8.66	9.52	8.42	9.91	9.03	8.18	8.93
Na ₂ O	1.86	1.41	1.54	2.24	1.78	2.12	1.91	1.83	1.91	2.00
K ₂ O	1.44	2.01	2.55	2.00	2.12	2.93	2.25	1.78	2.44	1.85
P ₂ O ₅	0.21	0.23	0.37	0.26	0.32	0.28	0.33	0.29	0.28	0.29
L.O.I	1.33	1.98	1.92	1.59	1.95	0.64	2.43	2.36	1.84	2.81
Mg#	47	48	53	45	50	39	45	49	50	49
(ppm)										
Be	1.32	1.44	1.71	1.56	1.52	2.06	1.69	1.84	1.63	1.77
Co	33.13	36.60	40.76	32.15	31.62	26.49	31.74	32.95	30.02	33.10
Cr	303	334	476	198	245	204	241	268	270	269
Ni	206.9	259.7	251.1	109.8	123.1	91.6	124.4	178.5	189.1	206.6
Cu	141	181	128	131	166	86	124	114	99	123
Zn	65	73	72	141	79	71	69	70	65	67
Ga	7.21	7.22	7.92	9.21	9.49	10.85	9.39	8.81	8.37	8.83
Rb	27.22	32.17	66.10	61.70	47.88	108.75	46.08	37.63	64.65	43.87
Sr	495	550	477	433	553	519	573	518	502	499
Th	2.25	3.19	2.98	3.18	2.37	4.68	2.35	2.55	2.37	2.47
V	339	333	309	273	310	249	321	321	275	321
Y	43	33	53	28	30	26	33	43	30	32
Zr	57	69	86	138	103	181	106	91	130	93
Nb	12	12	12	15	13	14	13	13	13	13
Nd	7.30	7.15	12.77	10.04	9.86	12.39	10.47	9.53	8.32	9.55
Mo	1.40	1.32	1.58	1.87	1.47	1.78	1.21	1.36	1.52	1.40
Sn	0.58	0.60	0.54	0.71	0.63	0.76	0.70	0.61	0.58	0.72

ادامه جدول ۱. نتایج تجزیه ژئوشیمیایی عناصر اصلی و کمیاب بازالت‌های منطقه گزبلند

Table 1 (Continued). Whole-rock major and trace element analyses of the Gaz Boland basalt rocks

Sample No.	KB-7	KB-8	KB-9	KB-10	KB-11	KB-12	KB-14	KB-15	KB-16	KB-17
(ppm)										
Cs	1.18	2.26	3.16	4.45	1.86	3.15	1.73	7.32	0.83	6.54
Ba	276	278	449	315	454	422	460	366	347	353
La	2.52	2.70	8.29	6.00	5.35	9.36	5.79	5.45	4.67	5.39
Ce	5.71	6.37	19.22	13.20	11.49	19.72	12.48	11.88	10.30	11.60
Pr	4.10	4.18	5.75	5.06	4.84	5.72	5.13	4.85	4.39	4.75
Sm	4.05	4.11	5.47	4.85	4.59	5.32	4.86	4.85	3.97	4.55
Eu	1.12	1.12	1.73	1.42	1.44	1.57	1.41	1.43	1.24	1.27
Gd	3.57	3.64	4.94	4.65	4.43	4.81	4.20	4.22	3.94	4.24
Tb	0.49	0.48	0.74	0.72	0.63	0.59	0.58	0.57	0.57	0.61
Dy	2.38	2.52	3.25	3.49	2.94	3.46	3.00	3.02	2.80	2.97
Ho	0.57	0.56	0.70	0.78	0.66	0.77	0.65	0.67	0.63	0.67
Er	1.91	1.85	2.13	2.47	2.06	2.50	1.98	2.26	2.01	2.07
Tm	0.21	0.22	0.23	0.30	0.23	0.33	0.27	0.26	0.27	0.24
Yb	1.1	1.1	1.1	1.6	1.2	1.6	1.1	1.3	1.2	1.3
Lu	0.21	0.22	0.23	0.32	0.25	0.29	0.24	0.27	0.25	0.31
Hf	1.47	1.51	1.90	2.23	1.53	2.59	1.75	1.68	1.79	1.81
Ta	0.14	0.12	0.13	0.25	0.14	0.21	0.15	0.17	0.13	0.13
Pb	14.00	7.01	6.46	33.39	19.60	9.35	5.37	8.18	10.41	6.47
U	0.69	0.83	1.14	1.82	0.79	1.61	0.90	0.72	0.85	0.67
(Ratios)										
Zr/Nb	4.7	5.7	6.9	9.1	8.2	12.5	8.4	7.1	10.2	7.4
Nb/Th	5.3	3.8	4.2	4.8	5.3	3.1	5.4	5.0	5.4	5.1
La/Nb	0.2	0.2	0.7	0.4	0.4	0.6	0.5	0.4	0.4	0.4
La/Ta	18	23	64	24	38	45	39	32	36	41
Ce/Yb	5	6	17	8	10	12	11	9	9	9
Nb/La	4.8	4.5	1.5	2.5	2.4	1.5	2.2	2.3	2.7	2.3
Eu/Eu*	0.9	0.89	1.02	0.91	0.98	0.95	0.95	0.97	0.96	0.88
(La/Yb) _N	1.6	1.7	5.0	2.5	3.0	4.0	3.6	2.9	2.7	2.8
(La/Sm) _N	0.4	0.4	1.0	0.8	0.7	1.1	0.8	0.7	0.7	0.8
(Gd/Yb) _N	2.7	2.7	3.6	2.3	3.0	2.5	3.1	2.7	2.7	2.7
(Sm/Yb) _N	4.1	4.1	5.3	3.2	4.1	3.6	4.8	4.1	3.7	3.8



شکل ۴. زمین‌شیمی سنگ‌های آتشفشانی منطقه گربلند. A: نمودار رده‌بندی TAS پیشنهادی میدل‌موست (Middlemost, 1994)، B: نمودار SiO_2 vs. $\text{Na}_2\text{O} + \text{K}_2\text{O}$ در مقابل $\text{Na}_2\text{O} + \text{K}_2\text{O}$ (Irvine and Baragar, 1971) و C: نمودار پیشنهادی هیستی و همکاران (Hastie et al., 2007)، برای شناسایی رده ماگمای سنگ‌های آذرین بیرونی

Fig. 4. Geochemistry of the Gaz Boland volcanic rocks. A: TAS diagram suggested by Middlemost (Middlemost, 1994), B: SiO_2 vs. $\text{Na}_2\text{O} + \text{K}_2\text{O}$ diagram (Irvine and Baragar, 1971), and C: Suggested diagram of Hastie et al. (Hastie et al., 2007), to identify the magmatic series of volcanic rock

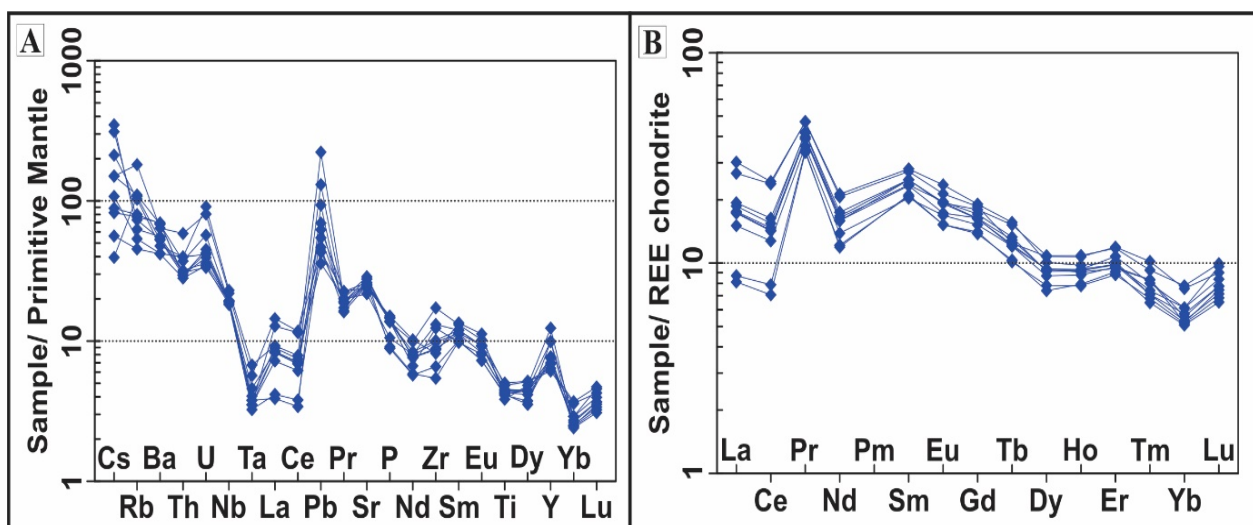
پوسته قاره‌ای، ناهنجاری منفی نسبت به عناصر ذکر شده نشان دهند (Rollinson, 1993). نمودار عناصر خاکی کمیاب بهنجارشده با کندریت (Boynton, 1984)، برای بازالت‌های نوژن گربلند، غنی شدگی

از سوی دیگر، پیرس (Pearce, 1983)، بر این باور است که بی‌هنجاری منفی عناصر Ti و Ta در نمودار عنکبوتی می‌تواند در اثر آلودگی توسط پوسته نیز ایجاد شود. فقر پوسته از عناصر Ti و Ta سبب می‌شود که ماگماهای بازالتی آلاش بافته با

خاکی کمیاب گزبلند، بی‌هنجاری منفی قابل توجهی در Eu دیده نمی‌شود (شکل ۵) و نسبت Eu/Eu^* محاسبه شده برای نمونه‌های گزبلند ۰/۸۸ تا ۰/۱۰۲ است (جدول ۱).

Richards et al., 2012) نبود به عقیده ریچارد و همکاران (2012)، نبود بی‌هنجاری منفی قابل توجه در Eu ($\text{Eu/Eu}^* \approx 1$) می‌تواند به دلیل ۱) عدم تفریق پلاژیوکلاز از ماغماهای اولیه، ۲) توقف تفریق پلاژیوکلاز به دلیل محتوای بالای آب ماغماهای و ۳) حالت اکسایش بالا در ماغما باشد. علاوه بر این، نبود بی‌هنجاری منفی Eu، بیانگر حضور گارنت و نبود پلاژیوکلاز در ناحیه منشأ است. از طرفی غلظت Sr نیز به وسیله پلاژیوکلاز کنترل می‌شود. میزان Sr در سنگ‌های گزبلند (ppm) ۴۳۳ - ۵۷۳ بیانگر عدم تفریق و جدایش گستردگی پلاژیوکلاز از ماغماهای سازنده این سنگ‌هاست. همچنین، هانسون (Hanson, 1980)، معتقد است که حضور کلینوپیروکسن در مذاب می‌تواند سبب بی‌هنجاری مثبت Eu شود؛ اما حضور پلاژیوکلاز در مذاب به بی‌هنجاری منفی Eu کمک خواهد کرد؛ به طوری که نسبت مساوی پلاژیوکلاز و کلینوپیروکسن، مذابی با آنومالی ناچیز Eu تولید خواهد کرد.

نسبی از LREE $(\text{La/Yb})_N = 1/6 - 5$ و $(\text{La/Yb})_N = 0/4 - 1/1$ و $(\text{La/Sm})_N = 2/3 - 3/6$ و $(\text{Sm/Yb})_N = 3/2 - 5/3$ و $(\text{Gd/Yb})_N = 1/1 - 5/4$ نسبتی شدگی نسبی از HREE (La/Sm) و (Gd/Yb) نشان می‌دهند (جدول ۱) که بیانگر تفکیک جزئی در بخش عناصر خاکی کمیاب است (شکل ۵-B). رولینسون (1993)، بر این باور است که تمامی REE ها در مذاب های بازالتی و آندزیتی، به صورت ناسازگار عمل می‌کنند و ممکن است فقط تفریق جزئی پیدا کنند. از سویی دیگر، عناصر HREE به شدت در ساختمان گارنت سازگار هستند (Ellam, 1992). گارنت با حفظ این عناصر در خود، سبب تهی شدگی آنها در مذاب می‌شود (Lentz, 1998)؛ لذا، غنی شدگی LREE نسبت به HREE در سنگ‌های گزبلند ممکن است به دلیل درجه پایین Clague (and Frey, 1982; Srivastava and Singh, 2004) ذوببخشی منشأ و باقی‌ماندن گارنت در منشأ باشد (Winter, 2001). در نمودار عناصر شیب منفی الگوی بهنجارشده عناصر خاکی کمیاب از ویژگی‌های بارز ماغماهای کالک‌آلکالن وابسته به کمان آتشفسانی است و با جایگاه تکتونوماگماهی مرتبط با زون فرورانش همخوانی دارد (Boynton, 1984).



شکل ۵. نمودارهای عنکبوتی سنگ‌های آتشفسانی آتشفسانی منطقه گزبلند. A: بهنجارشده با گوشته اولیه (McDonough and Sun, 1995) و B: بهنجارشده با عناصر خاکی کمیاب کندریت (Boynton, 1984)

Fig. 5. The spider diagrams of the Gaz Boland volcanic rocks. A: Primitive mantle-normalized trace element distribution patterns (McDonough and Sun, 1995), and B: Chondrite-normalized REE patterns (Boynton, 1984)

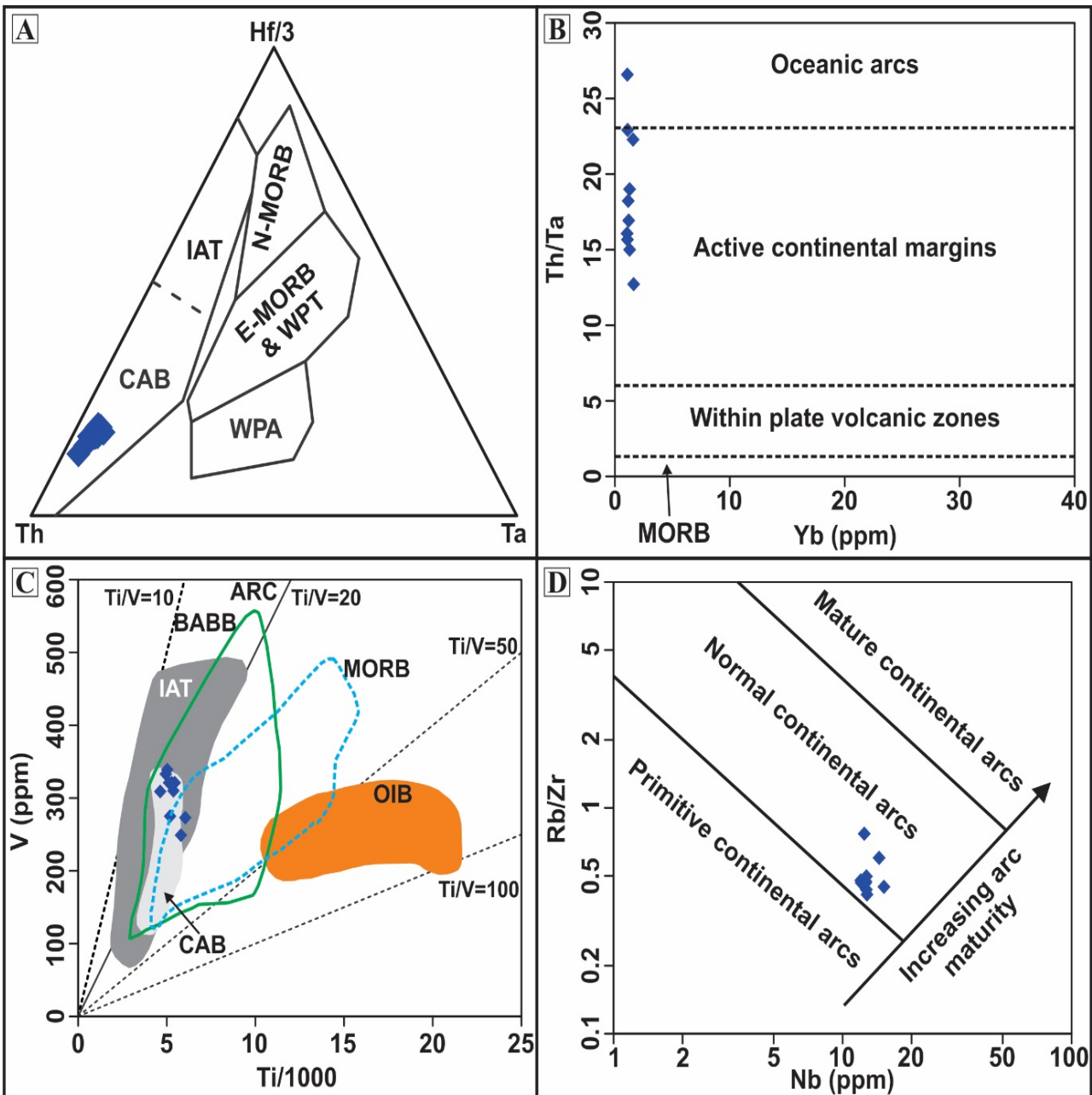
بحث

از پوسته ($Mg\# < 40$) و مذاب‌های گوشته‌ای ($Mg\# > 40$) است. میزان $Mg\#$ در سنگ‌های آتشفشانی نئوژن گربلند از ۳۹ تا ۵۳ متغیر است (جدول ۱) که بیانگر نقش گوشته در تشکیل آنهاست (Smithies and Champion, 2000; Zhang et al., 2016). از سوی دیگر، مذاب‌های بازالتی که در تعادل با ترکیب کانی شناسی گو شته بالایی هستند، دارای نسبت > 0.7 (Mg/Mg+Fe) و میزان Ni پیشتر از ppm ۴۰۰ تا ۵۰۰ و میزان Cr یا شتر از ۱۰۰۰ ppm و مقدار SiO_2 آنها کمتر از ۵۰ درصد وزنی است (Wilson, 1989). اما در نمونه‌های مورد بررسی میزان (Mg/Mg+Fe) از ۰/۵ تا ۰/۶ و مقدار Ni = ۹۲ ppm تا ۲۶ و مقدار Cr = ۱۹۸ ppm تا ۴۷۶ و مقدار SiO_2 نیز حدود ۵۰ تا ۵۵ درصد وزنی متغیر است. به نظر می‌رسد که نمونه‌های بازالتی منطقه گربلند، نسبت به یک مذاب بازالتی اولیه متعادل با ترکیب گوشته‌ای، اختلاف محسوسی دارد. این ویژگی می‌تواند به علت تبلور تفریقی کانی‌هایی مانند الیوین و کلینوپیروکسن در حین صعود و رسیدن مذاب به سطح زمین باشد (Tabbakh et al., 2018). مقدار عناصر ناسازگار در مواد فرار حاصل از آب گیری پوسته اقیانوسی، به تناسب عمق افزایش می‌یابد. بنابراین گوه گوشته‌ای به تناسب عمق فروراش و دوری از گودال اقیانوسی از عناصر ناسازگار غنی می‌شود. در این مناطق عمیق دگرسان شده، گارنت به جای اسپینل ظاهر می‌شود. Coban et al., 2007)، بیانگر وجود گارنت در منشأ سنگ‌های آتشفشانی گربلند است (شکل ۷-۷). برای ارزیابی ویژگی‌های منشأ مگمای مادر و همچنین درجه ذوب بخشی از نمودار Sm/La/Yb (Aldanmaz et al., 2000) و نمودار Sm/Yb (Özdemir and Güleç, 2014) استفاده شد (شکل ۷-۷ و C). بر پایه این نمودارها، نمونه‌های گربلند در محدوده ذوب بخشی حدود ۱۰ تا ۱۵ درصدی یک منشأ لرزولیت غنی از گارنت جای گرفته‌اند.

جایگاه تکتونوماگمایی: تمایز در عناصر کمیاب مانند عناصر باشدت میدان بالا، عناصر لیتوфیل بزرگ یون و عناصر نادر خاکی^۱، در محیط‌های زمین‌ساختی مختلف، ابزاری کلیدی برای تعیین جایگاه زمین‌ساختی است (Condie, 2005; Senyah et al., 2016). الگو و فراوانی عناصر کمیاب و خاکی کمیاب، بیانگر این بود که سنگ‌های منطقه مورد بررسی، مربوط به زون فروراش و شبیه به ماگماهای کمان آتشفشانی هستند. برای نتیجه‌گیری بهتر، از نمودارهای تمایز کننده محیط زمین‌ساختی استفاده شد. از این‌رو، برای تعمیک محیط زمین‌ساختی سنگ‌های آتشفشانی گربلند، از نمودار Th-Hf/3-Ta (Wood, 1980) و نمودار Yb در مقابل Th/Ta (Gorton, 2002) استفاده شد. بازالت‌های گربلند میزان Th نسبتاً بالا؛ اما میزان Ta پایین دارند (جدول ۱). لذا، این سنگ‌ها در محدوده بازالت‌های کالک‌آلکالن کمان آتشفشانی (شکل ۶-۶) و گسترده حاشیه فعال قاره‌ای (B) جای می‌گیرند. علاوه بر این، سنگ‌های آتشفشانی گربلند دارای مقادیر نسبتاً پایین Ti/V (۱۵-۲۳) هستند که مشابه بازالت‌های کالک‌آلکالن تشکیل شده در محیط کمان آتشفشانی و بازالت‌های حوضه پشت کمانی^۲ هستند (شکل ۶-۶C). گراویو (Graviou, 1984)، بر این باور است که در پشت کمان، ذوب لرزولیت گارنت‌دار که از عناصر هیگرومگمافیل غنی است، به تشکیل مگمای کالک‌آلکالن منجر می‌شود. از ویژگی بازالت‌های پشت کمانی، ماهیت ساب آلکالن با مواد قلایی بالاتر (Moore and Modabberi, 2001) و همچنین نبود بی‌هنجری منفی Nb (Verma, 2009) است.

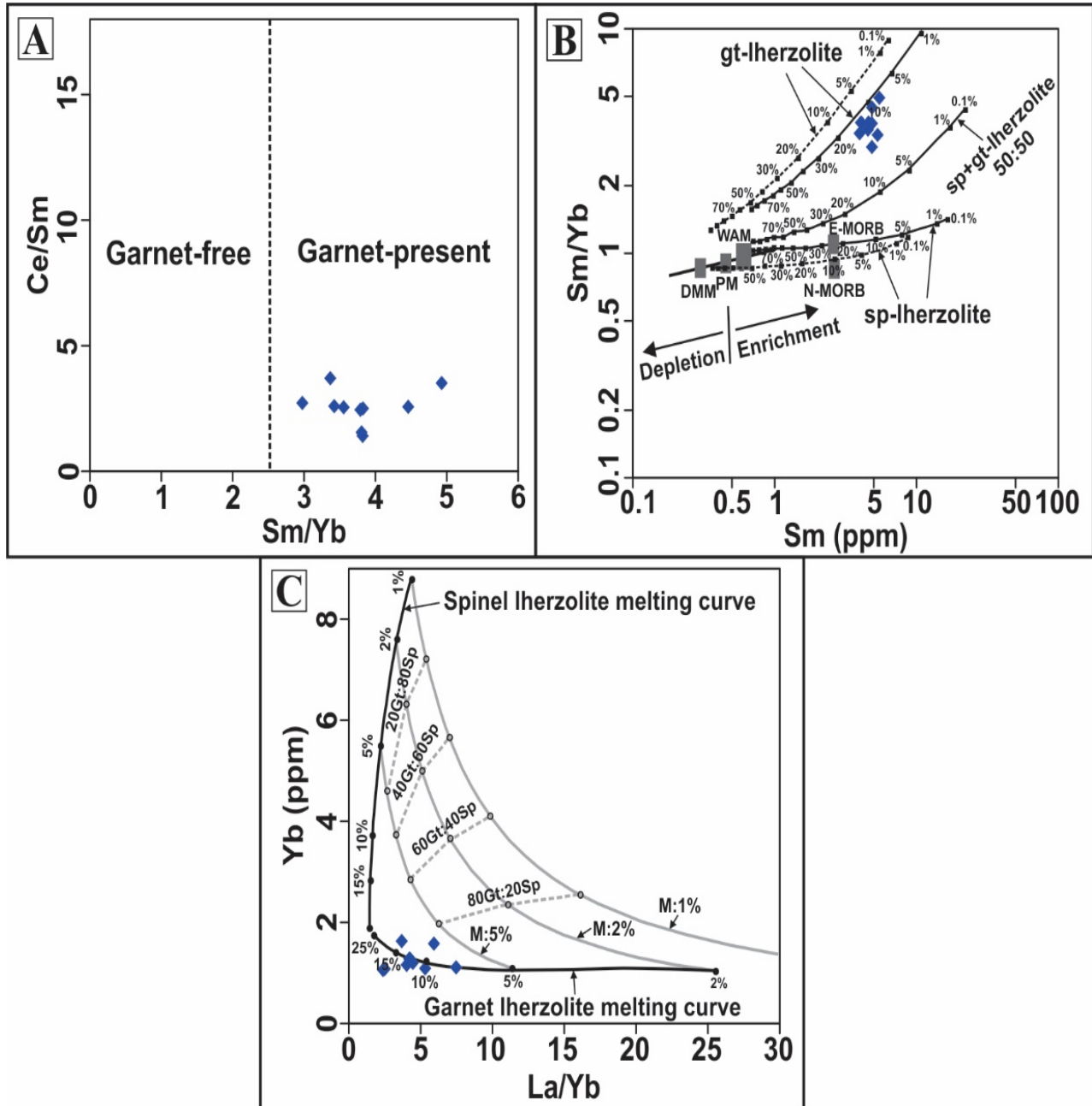
بر پایه نمودار Nb در مقابل Rb/Zr (Brown et al., 1984) بازالت‌های گربلند در محدوده کمان قاره‌ای عادی جای می‌گیرند (شکل ۶-۶D).

منشأ مگمای سازنده: بر اساس بررسی‌های تجربی، عدد منیزیمی ($Mg\#$) شاخصی مفید برای تمایز مذاب‌های مشتق شده



شکل ۶. جایگاه تکتونوماگمایی سنگ‌های آتشفشاری منطقه گزبلند. A: نمودار Th-Hf/3-Ta پیشنهادی از وود (Wood, 1980) که بازالت‌های گزبلند در محدوده بازالت‌های کالک‌آلکالن کمان آتشفشاری قرار می‌گیرند، B: نمودار Yb در مقابل Th/Ta پیشنهادی از شاندل و گرتوون (Schandl and Gorton, 2002) که نمونه‌های گزبلند در گستره حاشیه فعال قاره‌ای جای می‌گیرند، C: نمودار Ti در مقابل V (Shervais, 1982) که نمونه‌ها مشابه بازالت‌های کالک‌آلکالن تشکیل شده در محیط کمان آتشفشاری در هو رخ پشت کمانی هستند و D: نمودار Nb در مقابل Rb/Zr که بر اساس آن بازالت‌های گزبلند در محدوده کمان قاره‌ای عادی جای می‌گیرند.

Fig. 6. Tectono-magmatic setting of the Gaz Boland volcanic rocks. A: Th-Hf/3-Ta discrimination diagram proposed by Wood (Wood, 1980), in which the Gaz Boland basalts are within the calc-alkaline basalts range of the volcanic arc, B: Yb versus Th/Ta diagram (Schandl and Gorton, 2002), in which the Gaz Boland samples plot within the active continental margin field, C: The Ti vs. V diagram (Shervais, 1982), whose samples are similar to the calc-alkaline basalts formed in the volcanic arc setting in the back-arc basin, and D: The Nb versus Rb/Zr diagram proposed by Brown et al. (Brown et al., 1984), according to which the Gaz Boland basalts are located within the normal continental arc field.



شکل ۷. تعیین منشأ مagmaهای سازنده سنگ‌های آتشفسانی منطقه گربلند. A: نمونه‌های گربلند در نمودار Sm/Yb در مقابل Ce/Sm (Çoban, 2007). B: نمودار Sm/Yb در مقابل Sm (Aldanmaz et al., 2000). C: نمودار La/Yb در مقابل Yb (Özdemir and Güleç, 2014). در محدوده حضور فاز گارنت در گو شته منشأ magmaهای مادر قرار دارند، و نمودار Sm/Yb در مقابل Sm (B)، نمودار La/Yb در مقابل Yb (C) با ترکیب لرزولیت گارنت‌دار است. در حدود ۱۰ تا ۱۵ درصدی یک منشأ لرزولیت غنی از گارنت است.

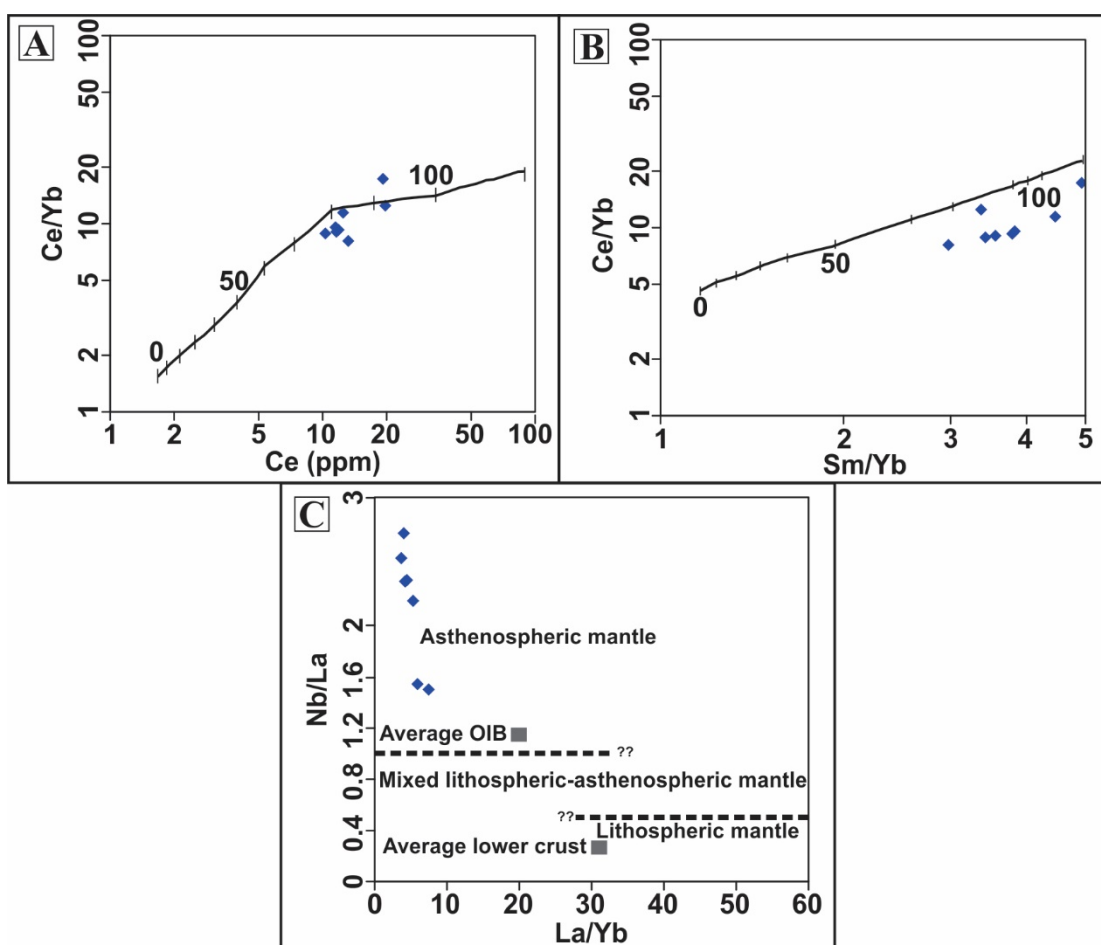
Fig. 7. Determining the origin of volcanic rocks-forming magma in the Gaz Boland area. A: Gaz Boland samples in the Sm/Yb versus Ce/Sm diagram (Çoban, 2007), are plotted within the garnet presence range in the mantle source of parent magma, B: The diagram of Sm vs. Sm/Yb (Aldanmaz et al., 2000), indicates the origin of LREE-enriched mantle with the composition of garnet-bearing lherzolite, and C: The La/Yb versus Yb diagram (Özdemir and Güleç, 2014), confirms the partial melting of about 10 to 15% of a garnet-rich lherzolite source.

آستنوسفری است (Smith et al., 1999). از سوی دیگر، نسبت La/Nb در ماقمای وابسته به گوشته لیتوسفری (>1) و در ماقماهای مشتق شده از گوشته آستنوسفری (≈ 0.7) است (DePaolo and Daley, 2000) در سنگ‌های آتشفشاری منطقه مورد بررسی، نسبت La/Nb بین 0.7 تا 2 و نسبت Nb/La بین $1/5$ تا $4/8$ است (جدول ۱). برای نتیجه‌گیری بهتر از نمودار La/Yb در مقابل Nb/La (Abdel-Rahman and Nassar, 2004) استفاده شد که بر مبنای آن، بازالت‌های گربلند در محدوده گوشته آستنوسفری قرار می‌گیرند (شکل-۸). بی‌هنجری منفی Nb ویژگی مشخصی برای همه ماقماهای است که توسط سنگ‌های پوسته قاره‌ای آلوده می‌شوند (Rollinson, 1993) و از سوی دیگر، ویژگی بارز ماقماهای مربوط به زون فرورانش است؛ اما این بی‌هنجری در سنگ‌های آتشفشاری گربلند مشاهده نمی‌شود. به عقیده ورما (Verma, 2009)، نبود بی‌هنجری منفی Nb از ویژگی بازالت‌های Baier et al., 2008) پشت‌کمانی است. همچنین بایر و همکاران (، بر این باورند که بی‌هنجری منفی Nb، به دلیل حلالیت کلینوپیروکسن‌های آلومینیم‌دار، روتیل و برخی فازهای بالقوه دیگر در فشارها (Gpa ۱-۲) و دماهای (۶۰۰ درجه سانتی‌گراد) نسبتاً پایین است. جدا یاش ترجیحی Nb توسط کلینوپیروکسن‌های آلومینیم‌دار سبب می‌شود که سیال آزاد شده از آب‌گیری پوسته اقیانوسی حتی در صورت وجود روتیل از Nb تهی شود. از این رو، بی‌هنجری منفی Nb، ویژگی سیالاتی است که در قسمت‌های نسبتاً کم عمق زون فرورانش تشکیل می‌شوند؛ اما در فشارهای بالاتر (Gpa ۵) و نواحی عمیق‌تر زون فرورانش، حلالیت Nb در سیال افزایش می‌یابد. در نتیجه، بی‌هنجری منفی Nb از بین خواهد رفت. لذا، نبود بی‌هنجری در سنگ‌های آتشفشاری گربلند می‌تواند به دلیل فشارها و دماهای بالاتر در منطقه منشأ باشد که خود بیانگر نشأت‌گرفتن این سنگ‌ها از نواحی عمیق‌تر زون فرورانش است.

گوشته مولد ماگما: شواهد قوی سنگ‌شناختی و کانی‌شناختی، تأکید می‌کند که ماگمای والد، اغلب از ذوب‌بخشی گوشته آستنوسفری بالای صفحه فرورونده، منشأ می‌گیرد. این گوهه از لرزولیت تشکیل شده و بارورتر از لیتوسفر بالای آن است (Moore and Modabberi, 2001) به باور پرس و همکاران (Pearce et al., 1990)، گوشته بالای یک زون فرورانش می‌تواند ماگمایی با ویژگی‌های کالک‌آلکالن ایجاد کند. تشکیل ماگمای کالک‌آلکالن در زون فرورانش به میزان آب و درجه ذوب‌بخشی بستگی دارد؛ به طوری که از ذوب‌بخشی گوشته بالایی، در حضور آب کافی (вшار آب حدود $1/3$ کیلوبار)، ماگمای کالک‌آلکالن ایجاد می‌شود؛ در حالی که در مقدادر کمتر آب یا درجه پایین ذوب‌بخشی گوه گوشته‌ای، ماگمای آلکالن تشکیل می‌شود (Bonin, 1990). ایلام (Ellam, 1992)، معتقد است که نسبت‌های Sm/Yb و Ce/Yb شاخص حساسی برای تغییرات ضخامت لیتوسفری هستند که می‌تواند به راحتی برای بازالت‌ها استفاده شوند؛ زیرا تحت تأثیر تبلور تفریقی قرار نمی‌گیرند. به این منظور، از نمودار تغییرات Ce در مقابل Ce/Yb و نمودار Sm/Yb در مقابل Ce/Yb (Ellam, 1992) برای تعیین عمق رخداد ذوب‌بخشی ناحیه منشأ ماگما استفاده شد که بر مبنای آن عمق رخداد ذوب‌بخشی و تشکیل ماگمای سازنده بازالت‌های گربلند، حدود 80 تا 100 کیلومتری، یعنی منطبق بر بخش‌های زیرین گوشته لیتوسفری (Lallemand et al., 2005) و عمق پایداری لرزولیت گارنت‌دار است (شکل-۸A و B). به باور ایلام (Ellam, 1992)، منطقه انتقال گارنت (اسپینل \rightarrow گارنت)، در عمق 60 تا 80 کیلومتری است. نسبت‌های عنصری و نمودارهای مختلفی برای شناسایی منبع گوشته‌ای استفاده می‌شود. برای مثال، نسبت Nb/La برای شناسایی منبع گوشته‌ای بسیار مفید است؛ زیرا در گوشته LREE لیتوسفری عناصر با شدت میدان بالا، مانند Nb نسبت به تهی می‌شوند. بنابراین نسبت پایین Nb/La ($0.5/0$) نشان‌دهنده گوشته لیتوسفری و نسبت بالای Nb/La ($1/0$) بیانگر گوشته

نسبت در بازالت‌های گربلند بین ۴/۷ تا ۱۲/۵ متغیر است (جدول ۱). لذا، بر اساس نمودار Zr در مقابل Nb (Abu-Hamatteh, 2005)، منشأ این سنگ‌ها را می‌توان به گوشه غنی شده نسبت داد (شکل ۹). از سویی دیگر، مانع‌های کمان‌های آتشفشاری را می‌توان بر مبنای نسبت Ce/Yb به دو گروه بسیار غنی شده و کمی غنی شده تقدیم کرد (Hawkesworth et al., 1991; Juteau and Maury, 1997).

بر اساس مباحث ذکر شده، تغییراتی در غلظت عناصر کمیاب و خاکی کمیاب بازالت‌های گربلند نسبت به گوشه اولیه مشاهده می‌شود که می‌توان آنها را از دیدگاه غنی شدگی منشأ گوشه‌ای یا آسودگی پوسته‌ای بررسی کرد. از این رو، بر اساس نمودار Nb/Y در مقابل Rb/Y (Aydinçakir, 2016) ناشی از عوامل فرورانش یا آسودگی پوسته‌ای هستند (شکل ۹). نسبت Zr/Nb در گوشه اولیه برابر با ۱۵/۷ است (Sun and McDonough, 1989; Abu-Hamatteh, 2005).



شکل ۸. گوشه مولد مانع‌های سازنده سنگ‌های آتشفشاری منطقه گربلند. A و B: بر اساس نمودار Ce/Yb در مقابل Ce و نمودار Sm/Yb در مقابل Sm/Yb (Ellam, 1992)، عمق رخداد ذوب‌بخشی و تشکیل مانع‌های سازنده، حدود ۸۰ تا ۱۰۰ کیلومتری است و C: بر پایه نمودار La/Yb در مقابل Nb/La (Abdel-Rahman and Nassar, 2004) Nb/La (Abdel-Rahman and Nassar, 2004) بازالت‌های گربلند از گوشه آستنوفری نشأت گرفته‌اند.

Fig. 8. Productive mantle of the volcanic rocks-forming magma in the Gaz Boland area. A and B: According to the Ce vs. Ce/Yb and the Sm/Yb vs. Ce/Yb diagrams (Ellam, 1992), the depth of occurrence of partial melting and magma formation, is about 80 to 100 km, and C: Based on the La/Yb versus Nb/La diagram (Abdel-Rahman and Nassar, 2004), Gaz Boland basalts are derived from asthenospheric mantle.

وارد می‌شوند، تعامیل دارند و این تعامیل می‌تواند به طور قابل توجهی، ترکیب چنین ماقمایی را تغییر دهد (Reiners et al., 1996; Farmer, 2007) لذا، فرایند هضم و تبلور تفریقی^۱ در سنگ زایش این ماقمایی مهم است. ماقمای بازالتی اوایله تولیدشده در گوشه‌های تا اعمقی که در آن اختلاف چگالی ماقمای دیواره صفر شود، بالا می‌آید. این عمق در حاشیه قاره‌ها در عمق پوسته و نزدیک به موهو است.

پوسته قاره‌ای به دلیل چگالی کمتر نسبت به مواد اقیانوسی، به عنوان فیلتری عمل می‌کند که باعث توقف ماقمای صعود کننده شده و آنها را در اعمق زیاد، دچار آلودگی و تفریق می‌کند (Moore and Modabberi, 2001). از این رو، وجود بافت پورفیری در سنگ‌های گربلند، بیانگر توقف ماقمای مادر گوشته‌های در مخزن ماقمایی و انجام فرایندهای مخزن مانند تبلور تفریقی و احتمالاً آلایش، آمیختگی و یا ترکیبی از این فرایندهاست.

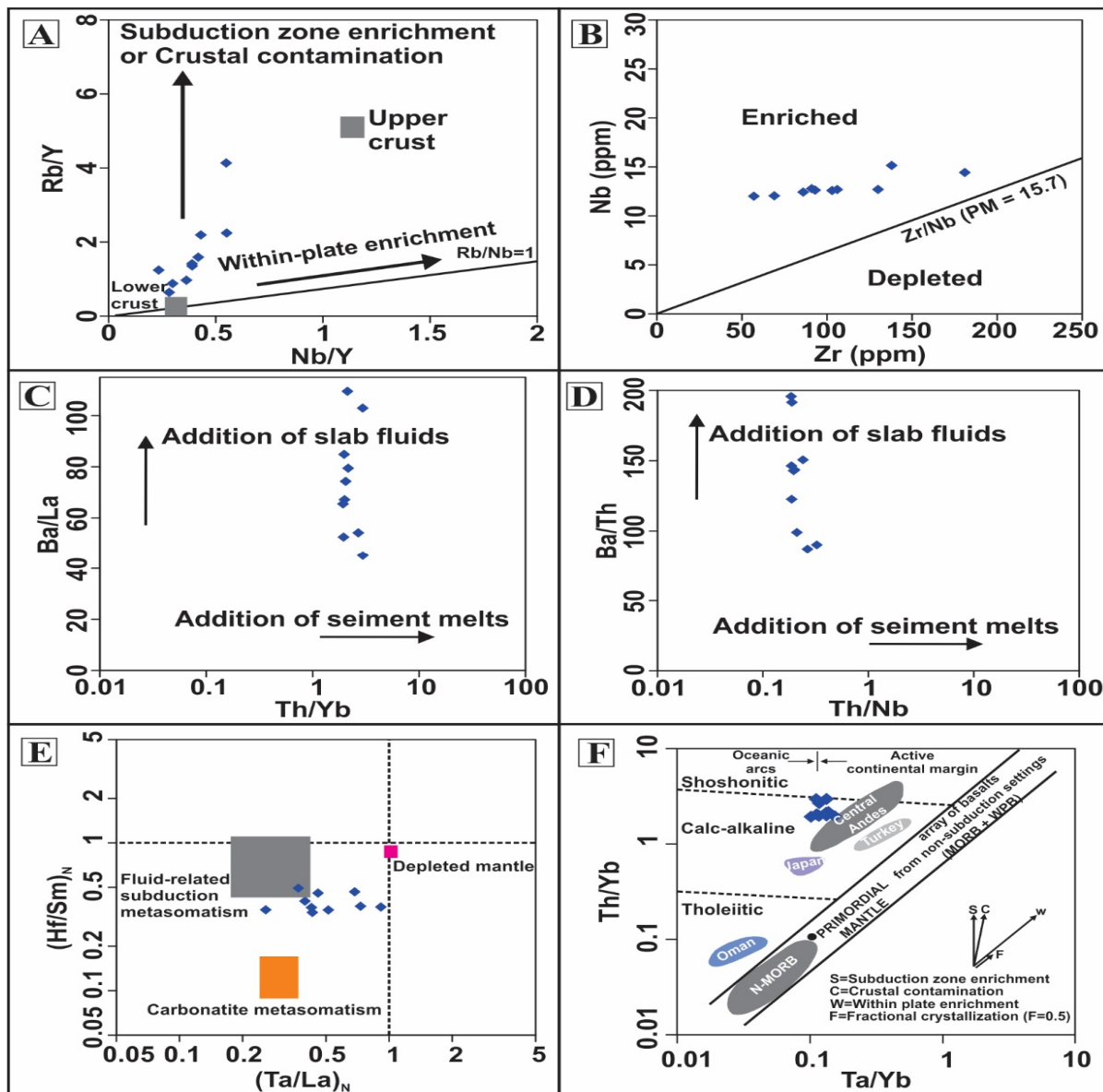
برای تعیین نقش آلودگی پوسته‌ای در ترکیب سنگ‌ها از نسبت‌های عنصری و نمودارهای مختلفی استفاده می‌شود. جوکوم و همکاران (Jochum et al., 1991)، تأکید می‌کنند که نسبت Th/Nb، شاخصی بسیار حساس برای تعیین آلودگی پوسته‌ای است که برای تمایز بین گذاره‌های آلوده و آنهایی که نسبت اوایله عناصر کمیاب خود را حفظ کرده‌اند، مورد استفاده قرار می‌گیرد. پایین‌ترین میزان Nb/Th در بازالت‌های پیدا می‌شود که با پوسته قاره‌ای آلوده شده‌اند.

به عقیده کاندی (Condie, 2003) نسبت $5 < \text{Nb/Th}$ به عقیده کاندی (Condie, 2003) نشان‌دهنده آلودگی قابل توجه پوسته‌ای ($> 5\%$) می‌شود که با پوسته قاره‌ای آلوده شده‌اند. و یا مؤلفه‌های ژئوشیمیایی فرورانش است. علاوه بر این، سنگ‌های بازالتی که تحت تأثیر آلودگی پوسته‌ای قرار گرفته‌اند، دارای نسبت‌های $\text{La/Ta} > 22$ (Abdel-Rahman and Nassar, 2004) هستند.

اگر نسبت $15 < \text{Ce/Yb}$ باشد، ماقمای کمانی از نوع بسیار غنی‌شده و چنانچه میانگین نسبت $15 < \text{Ce/Yb}$ باشد، از نوع کمی غنی‌شده است. میانگین این نسبت در سنگ‌های گربلند ۹/۷ است. همچنین، بر پایه نمودار Th/Yb در مقابل Ba/La (Peng et al., 2016) Ba/Th در مقابل Th/Nb در مقابل Sm/La (LaFlèche et al., 1998) نمودار آبگین مشتق شده از پوسته اقیانوسی فرورونده، به منبع گوشته‌ای ماقمای مولد این سنگ‌ها وارد شده‌اند (شکل ۹-C و D).

از آنجایی که متاسوماتیسم مربوط به سیالات در فرایند فرورانش به ترتیب به کاهش Ta و Hf نسبت به La و Sm منجر خواهد شد؛ لذا، بر پایه نمودار $(\text{Hf}/\text{Sm})_{\text{N}}$ در مقابل $(\text{Ta}/\text{La})_{\text{N}}$ (Pearce, 1983) Th/Yb کالک‌آلکالن به موازات روند غنی‌شدنگی زون فرورانش قرار گرفته‌اند که بیانگر نقش عوامل فرورانش در غنی‌شدنگی در منشأ است (شکل F-۹). لذا، پیشنهاد می‌شود که منبع گوشته‌ای بازالت‌های گربلند، توسط سیال آبدار مشتق شده از پوسته اقیانوسی فرورونده در فرایند فرورانش کمی غنی شده است.

آلایش پوسته‌ای: لیتوسفر قاره‌ای اغلب در پتروژنز بازالت‌ها دخالت دارد و پوسته و گوشته لیتوسفری به عنوان آلاینده‌های ماقمای آستنوسفری شناخته شده‌اند. لیتوسفر مانند سدی در مقابل ادامه روند صعود گوشته آستنوسفری عمل می‌کند که عمق برخورد آستنوسفر با این سد لیتوسفری به شدت بر میزان ذوب و ماهیت کانی‌های باقی‌مانده گوشته تأثیر می‌گذارد. از این رو، به طور اساسی ترکیب عناصر کمیاب ماقمایی تولیدشده را کنترل می‌کند (Ellam, 1992). از طرفی، ماقمایی مافیکی که از گوشته مشتق می‌شوند، با پوسته قاره‌ای که به داخل آن



شکل ۹. گوشته غنی شده سنگ‌های آتشفسانی منطقه گزبلند. A: نمودار Y/Nb در مقابل Rb/Y (Aydinçakir, 2016)، نشان‌دهنده تأثیر عوامل فروزانش یا آلدگی پوسته‌ای بر مagmaست، B: در نمودار Nb در مقابل Zr در مقابله Abu-Hamatteh, 2005)، نمونه‌های گزبلند در محدوده گوشته غنی شده جای می‌گیرند، C و D: نمودار Th/Yb در مقابل Ba/La و Th/Nb در مقابل Ba/Th در مقابله Peng et al., 2016) Ba/Th در مقابل Th/Nb در مقابله Pearce et al., 2016) نمونه‌های پوسته اقیانوسی فروزانده دگرسانشده به منبع گوشته‌ای ماگمای مولد این سنگ‌هاست، E: در نمودار $(\text{Ta}/\text{La})_N$ در مقابل $(\text{Hf}/\text{Sm})_N$ در مقابله Pearce, 1983) Th/Yb در مقابل Ta/Yb در مقابله Pearce, 1983) نیز گزبلند در مجاورت محدوده مetasomatism سیالات مربوط به زون فروزانش قرار می‌گیرند و F: نمودار Th/Yb در مقابل Ta/Yb در مقابله Pearce, 1983) نیز تأکیدی بر نقش عوامل فروزانش در غنی شدن سنگ‌های گزبلند است.

Fig. 9. Enriched mantle of the Gaz Boland volcanic rocks. A: The Nb/Y versus Rb/Y diagram (Aydinçakir, 2016), shows the effect of subduction factors or crustal contamination on magma, B: In the Zr vs. Nb diagram (Abu-Hamatteh, 2005), Gaz Boland samples plot within the range of enriched mantle, C and D: The Th/Yb versus Ba/La and the Th/Nb versus Ba/Th diagrams (Peng et al., 2016), confirm the entry of fluids derived from the subducted oceanic crust into the mantle source of the parent magma of these rocks, E: In the $(\text{Ta}/\text{La})_N$ vs. $(\text{Hf}/\text{Sm})_N$ diagram, the Gaz Boland samples are located in the vicinity of the metasomatism range of the fluids related to the subduction zone, and F: The Ta/Yb versus Th/Yb diagram (Pearce, 1983), also emphasizes the role of subduction factors in the enrichment of the origin of Gaz Boland rocks.

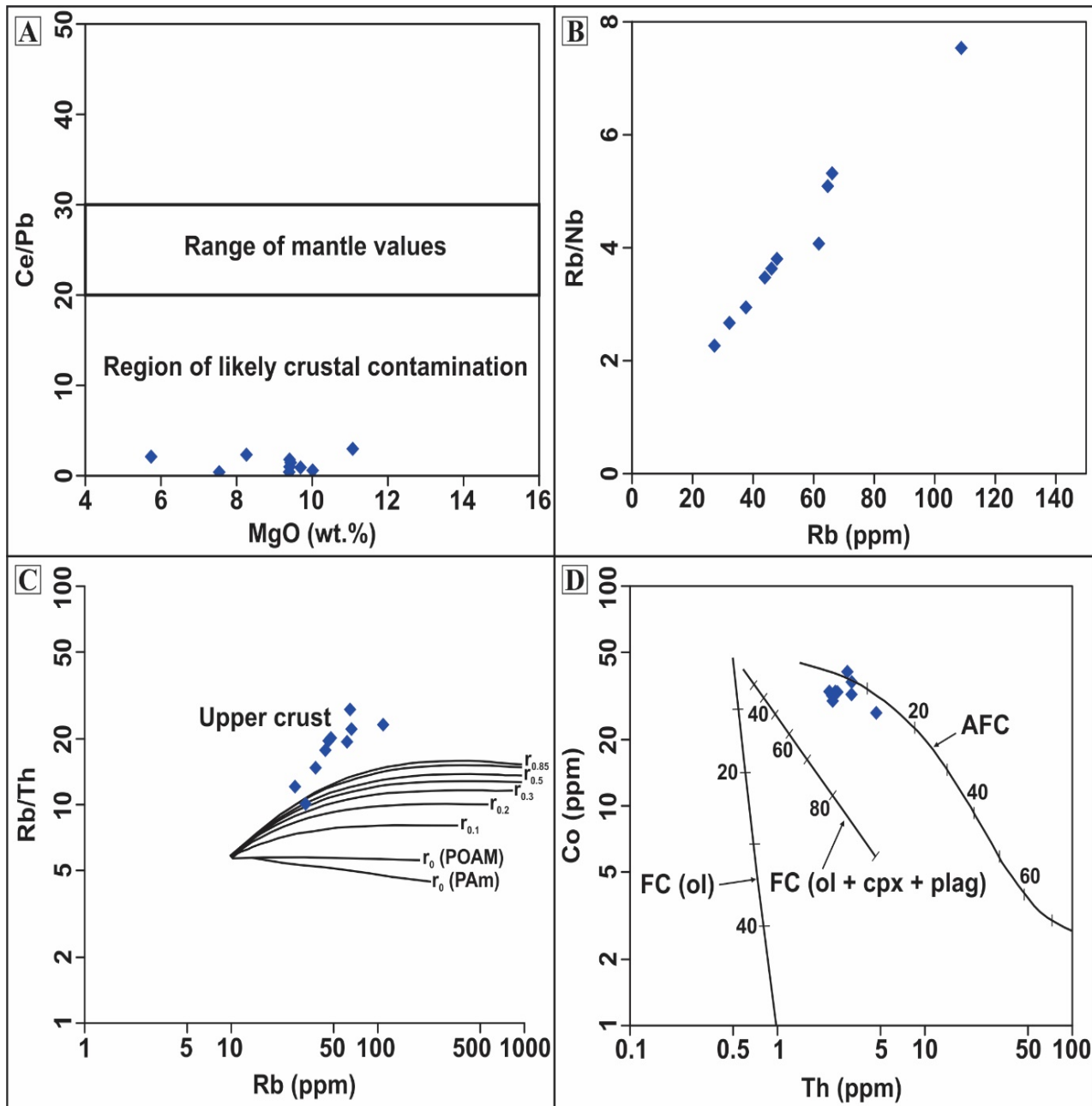
(شکل D-۱۰).

بیشتر پژوهشگران زمان برخورد قاره‌ای را میوسن بالایی می‌دانند؛ لذا، بازالت‌های پلیو-پلیستوسن (Djokovic et al., 1973) گربلند، مربوط به یک محیط پس از برخوردی هستند. در پلیوسن و پلیستوسن در بخش‌هایی از کمرنده آتشفسانی-نفوذی ارومیه-دختر فعالیت‌های ماقمایی رخداده است. فعالیت ماقمایی پلیوسن بیشتر دارای ماهیت کالک‌آلکالن است؛ اما در پلیستوسن گاهی فعالیت ماقمایی آلکالن نیز به همراه کالک‌آلکالن دیده می‌شود (Berberian and King, 1981). ناحیه شهربابک از جمله بخش‌هایی از مجموعه آتشفسانی-نفوذی ارومیه-دختر است که در آن فعالیت ماقمایی کالک‌آلکالن و آلکالن پس از برخوردی به وقوع پیوسته است. وقوع ماقماتیسم کالک‌آلکالن بعد از برخورد در پلیو-پلیستوسن در منطقه گربلند می‌تواند نشان‌دهنده این باشد که گوشته غنی شده (متاسوماتیزه) هنوز قادر به تولید ماقمای کالک‌آلکالن است. چنین فرایندی در ایالت‌های پس از برخوردی مشاهده می‌شود (Coulon et al., 1986; Deniel et al., 1998; Aldanmaz et al., 2000; Alici et al., 2002; Alici-Şen et al., 2004; Guo et al., 2006) تشکیل ماقمای کالک‌آلکالن در منطقه گربلند مربوط به کشیدگی در لیتوسفر و شکسته شدن پوسته اقیانوسی فرورونده و فروکش کردن آن به داخل بخش‌های زیرین گوشته بالایی است. فروکش کردن پوسته اقیانوسی فرورونده، به توسعه یک پنجه آستنوسفری منجر می‌شود؛ به طوری که گوشته دست‌نخورده آستنوسفری به داخل گوشته غنی شده لیتوسفری صعود می‌کند و سبب می‌شود گوشته متاسوماتیزه در بخش‌های زیرین خود با گوشته آستنوسفری مخلوط شود. به دلیل داغبودن گوشته آستنوسفری، گرادیان زمین گرمایی افزایش یافته است و باعث ذوب‌بخشی در این قسمت می‌شود؛ لذا از اختلاط ماقمای آستنوسفری با بخش زیرین گوشته متاسوماتیزه لیتوسفری ماقمای کالک‌آلکالن گربلند ایجاد شده است (شکل ۱۱).

مقادیر La/Ta و Nb/Th در بازالت‌های گربلند به ترتیب 3 ± 5 و 18 ± 16 است (جدول ۱) که بیانگر آلودگی پوسته‌ای در این سنگ‌هاست. همچنین، نسبت Ce/Pb، به خوبی توسط هافمن و همکاران (Hofmann et al., 1986) برای سیالات مشتق شده از گوشته اولیه (5 ± 25) تعریف شده است. از این رو، فورمن (Furman, 2007)، عقیده دارد که این نسبت شاخصی حساس و مفید برای تعیین آلودگی پوسته‌ای است؛ به طوری که مقادیر پایین آن نشان‌دهنده آلایش پوسته‌ای است. این نسبت در سنگ‌های منطقه گربلند بین 0.4 ± 0.0 تا 3 ± 3 متغیر است (شکل A-۱۰).

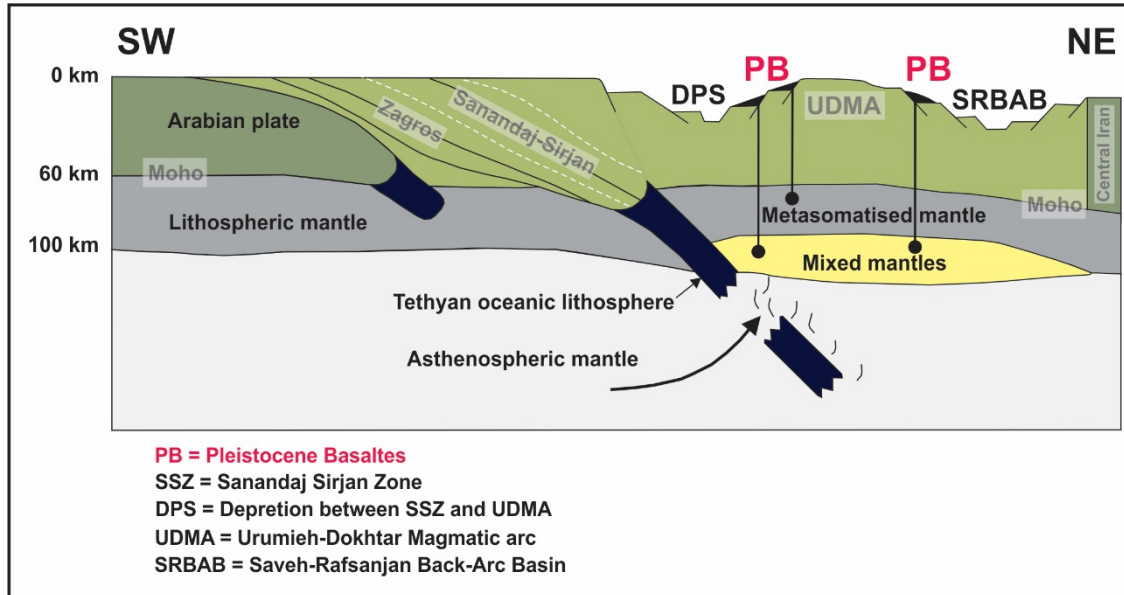
مششا و شینجو (Meshesha and Shinjo, 2007)، بر این باورند که آلکالی‌ها به شدت در سنگ‌های پوسته‌ای فلزیک غنی شده‌اند؛ بنابراین حتی درجه‌های پایین آلودگی باعث غنی شدگی شدید در تمرکز عنصر قلیایی می‌شود و به افزایش نسبت Nb/آلکالی در بازالت‌های آلوده شده با پوسته منجر می‌شود. لذا، چنان‌که در شکل B-۱۰ مشاهده می‌شود، همبستگی مثبت بالایی بین Rb و نسبت Rb/Nb وجود دارد که بیانگر آلایش پوسته‌ای ماقمای سازنده آتشفسان‌های گربلند است. Rb و Th تنها عناصری هستند که تحت تأثیر تبلور مجموعه‌های آبدار یا بدون آب قرار نمی‌گیرند و نسبت Rb/Th در سنگ‌های پوسته‌ای بیشتر از ماقمایی بازیک است. از این رو، برای بررسی فرایند AFC از نمودار Rb/Th در مقابل استفاده شد (شکل C-۱۰). در این نمودار، بیانگر نسبت سرعت هضم به سرعت تبلور تفریقی است و هرچه ترکیب نمونه‌های مورد بررسی به ترکیب پوسته نزدیک تر باشد، هضم بیشتری روی داده و مقادیر بالاتری از ۲ را در بر می‌گیرد (Keskin et al., 1998).

بر اساس این نمودار، ماقمای سنگ‌های آتشفسانی گربلند در حین صعود، فرایند AFC را تحمل کرده است. همچنین، نمودار Th در مقابل Co (Halama et al., 2007) نیز تأکیدی بر نقش فرایند AFC در تحولات ماقمایی بازالت‌های گربلند است.



شکل ۱۰. آسودگی پوسته‌ای ماقمای سازنده سنگ‌های آتشفشاری منطقه گربلند. A و B: نمودار MgO در مقابل Ce/Pb ارائه شده توسط فورمن (Furman, 2007) و نمودار Rb در مقابل Rb/Nb (Meshesha and Shinjo, 2007) بیانگر آلایش پوسته‌ای ماقمای سازنده این سنگ‌ها هستند، C و D: نمودار Rb در مقابل Th (Keskin et al., 1998) و نمودار Co در مقابل Th (Halama et al., 2007) بیانگر نقش AFC بر تحولات ماقمایی این سنگ‌ها هستند.

Fig. 10. Crustal contamination of the volcanic rocks-forming magma in the Gaz Boland area. A and B: The MgO versus Ce/Pb diagram presented by Furman (Furman, 2007) and the Rb versus Rb/Nb diagram (Meshesha and Shinjo, 2007), indicate the Crustal contamination of the parent magma of these rocks, C and D: The diagram of Rb vs. Rb/Th (Keskin et al., 1998) and the Th versus Co diagram (Halama et al., 2007), confirm the role of the AFC on the magmatic evolution of these rocks.



شکل ۱۱. الگوی ژئودینامیکی تشکیل بازالت‌های پلیو-پلیستوسن منطقه گزبلند (برگرفته از حسینی (Hosseini, 2010)، همراه با تغییرات)

Fig. 11. Geodynamic pattern of formation of Plio-Pleistocene basalts in the Gaz Boland area (modified from Hosseini (Hosseini, 2010)).

زون فرورانش و حاشیه فعال قاره‌ای است. بر مبنای نسبت‌های عنصری و نمودارهای مختلف، مانع‌گاهی سازنده سنگ‌های آتشفسانی گزبلند، از گوشته آستنوسفری در اعمق زون فرورانش مشتق شده است. ترکیب سنگ منشأ این بازالت‌ها، لرزولیت گارنت‌دار است که طی فرایند فرورانش، تحت تأثیر سیالات نشأت گرفته از پوسته اقیانوسی فرورونده، اندکی غنی شده است. مانع‌گاهی سازنده این سنگ‌ها در حین صعود نیز با پوسته قاره‌ای، آلایش یافته و فرایند AFC را تحمل کرده است.

قدرتمند

نویسنده از زحمات جناب آقای مهندس نظام دولتزهی به سبب کمک در عملیات صحرایی قدردانی می‌کند.

نتیجه‌گیری

بازالت‌های پلیو-پلیستوسن، جوانترین فعالیت آتشفسانی در منطقه گزبلند محسوب می‌شوند. بافت اصلی این سنگ‌ها میکرولیتی پورفیری به همراه بافت گلومروپورفیری است. کانی‌های سازنده این واحد سنگی؛ شامل کانی‌های اصلی الیوین، کلینوپیروکسن و پلاژیوکلاز و کانی‌های ثانویه کلسیت، کلریت، اکسیدهای آهن و کانی‌های کدر است. وجود بافت غربالی و منطقه‌بندی در درشت‌بلورهای پلاژیوکلاز و کلینوپیروکسن و همچنین خوردگی خلیج مانند در بلورهای الیوین، نشان‌دهنده عدم تعادل در حین تبلور مانع‌گماست. بر اساس داده‌های ژئوشیمیایی، سنگ‌های آتشفسانی منطقه گزبلند از یک مانع‌گاهی کالک‌آلکالن حاصل شده‌اند. همچنین بررسی نمودارهای عناصر کمیاب این گذاره‌ها بیانگر مانع‌گاهی وابسته به

References

- Abdel-Rahman, A.F.M. and Nassar, P.E., 2004. Cenozoic volcanism in the Middle East: petrogenesis of alkali basalts from northern Lebanon. Geological Magazine, 141(5): 545–563.
<https://doi.org/10.1017/S0016756804009604>

- Abu-Hamatteh, Z.S.H., 2005. Geochemistry and

- petrogenesis of mafic magmatic rocks of the Jharol Belt, India: geodynamic implication. *Journal of Asian Earth Sciences*, 25(4): 557–581.
<https://doi.org/10.1016/j.jseaes.2004.05.006>
- Agard, P., Omrani, J., Jolivet, L. and Mouthereau, F., 2005. Convergence history across Zagros (Iran): constraints from collisional and earlier deformation. *International Journal of Earth Sciences*, 94(3): 401–419.
<https://doi.org/10.1007/s00531-005-0481-4>
- Ahmad, T. and Posht Kuh, M., 1993. Geochemistry and petrogenesis of Urumiah-Dokhtar volcanic belt around Nain and Rafsanjan areas: a preliminary study. Treatise on the Geology of Iran, Iranian Ministry of Mines and Metals, Isfahan, 90 pp.
- Alavi, M., 1991. Tectonic map of the Middle East, scale 1:5,000,000. Geological Survey of Iran.
- Alavi, M., 1994. Tectonics of the Zagros orogenic belt of Iran: new data and interpretations. *Tectonophysics*, 229(3): 211–238.
[https://doi.org/10.1016/0040-1951\(94\)90030-2](https://doi.org/10.1016/0040-1951(94)90030-2)
- Alavi, M., 2004. Regional stratigraphy of the Zagros fold-thrust belt of Iran and its Proforeland Evolution. *American Journal of Science*, 304(1): 1–20.
<https://doi.org/10.2475/ajs.304.1.1>
- Aldanmaz, E., Pearce, J.A., Thirlwall, M.F. and Mitchell, J.G., 2000. Petrogenetic evolution of Late Cenozoic, post-collision volcanism in western Anatolia, Turkey. *Journal of Volcanology and Geothermal Research*, 102(1–2): 67–95. [https://doi.org/10.1016/S0377-0273\(00\)00182-7](https://doi.org/10.1016/S0377-0273(00)00182-7)
- Alici, P., Temel, A. and Gourgaud, A., 2002. Pb–Nd–Sr isotope and trace element geochemistry of Quaternary extension-related alkaline volcanism: A case study of Kula region (western Anatolia, Turkey). *Journal of Volcanology and Geothermal Research*, 115(3–4): 487–510. [https://doi.org/10.1016/S0377-0273\(01\)00328-6](https://doi.org/10.1016/S0377-0273(01)00328-6)
- Alici-Şen, P., Temel, A. and Gourgaud, A., 2004. Petrogenetic modelling of Quaternary post-collisional volcanism: A case study of central and eastern Anatolia. *Geological Magazine*, 141(1): 81–98.
<https://doi.org/10.1017/S0016756803008550>
- Augustithis, S.S., 1979. Atlas of the textural patterns of basalts and their genetic signification. Elsevier Scientific Publishing Co., Amsterdam, 323 pp.
- Aydinçakir, E., 2016. Subduction-related Late Cretaceous high-K volcanism in the Central Pontides orogenic belt: constraints on geodynamic implications. *Geodinamica Acta*, 28(4): 379–411.
<https://doi.org/10.1080/09853111.2016.1208526>
- Baier, J., Audétat, A. and Keppler, H., 2008. The origin of the negative niobium tantalum anomaly in subduction zone magmas. *Earth and Planetary Science Letters*, 267(1–2): 290–300.
<https://doi.org/10.1016/j.epsl.2007.11.032>
- Ballato, P., Mulch, A., Landgraf, A., Strecker, M.R., Dalconi, M.C., Friedrich, A. and Tabatabaei, S.H., 2010. Middle to late Miocene Middle Eastern climate from stable oxygen and carbon isotope data, southern Alborz mountains, N Iran. *Earth and Planetary Science Letters*, 300(1): 125–138.
<https://doi.org/10.1016/j.epsl.2010.09.043>
- Berberian, M., 1981. Active faulting and tectonics of Iran. In: H.K. Gupta and F.M. Delany (Editors), *Zagros-Hindukosh-Himalaya. Geodynamic Evolution*, Geodynamic Series 3, American Geophysical Union, Washington DC, pp. 33–69.
<https://doi.org/10.1029/GD003p0033>
- Berberian, M. and King, G.C.P., 1981. Towards a paleogeography and tectonic evolution of Iran. *Canadian Journal of Earth Sciences*, 18(2): 210–265. <https://doi.org/10.1139/e81-019>
- Berberian, F., Muir, I.D., Pankhurst, R.J. and Berberian, M., 1982. Late Cretaceous and early Miocene Andean-type plutonic activity in northern Makran and Central Iran. *Journal of the Geological Society*, 139(5): 605–614.
<https://doi.org/10.1144/gsjgs.139.5.0605>
- Bonin, B., 1990. From orogenic to anorogenic settings: evolution of granitoids suites after a major orogenesis. *Geological Journal*, 25(3–4): 261–270.
<https://doi.org/10.1002/gj.3350250309>
- Boynton, W.V., 1984. Cosmochemistry of the rare earth elements: meteorite studies. In: P. Henderson (Editor), *Rare Earth Element Geochemistry*. Elsevier, Amsterdam, pp. 63–114. <https://doi.org/10.1016/B978-0-444-42148-7.50008-3>
- Brown, G.C., Thorpe, R.S. and Webb, P.C., 1984.

- The geochemical characteristics of granitoids in contrasting arcs and comments on magma sources. *Journal of the Geological Society*, 141(3): 413–426.
<https://doi.org/10.1144/gsjgs.141.3.0413>
- Clague, D.A. and Frey, F.A., 1982. Petrology and Trace Element Geochemistry of the Honolulu Volcanics, Oahu: Implications for the Oceanic Mantle below Hawaii. *Journal of Petrology*, 23(3): 447–504.
<https://doi.org/10.1093/petrology/23.3.447>
- Çoban, H., 2007. Basalt magma genesis and fractionation in collision- and extension-related provinces: A comparison between eastern, central and western Anatolia. *Earth-Science Reviews*, 80(3–4): 219–238.
<https://doi.org/10.1016/j.earscirev.2006.08.006>
- Condie, K.C., 2003. Incompatible element ratios in oceanic basalts and komatiites: Tracking deep mantle sources and continental growth rates with time. *Geochemistry Geophysics Geosystems*, 4(1): 1–28.
<https://doi.org/10.1029/2002GC000333>
- Condie, K.C., 2005. High field strength element ratios in Archean basalts: a window to evolving sources of mantle plumes? *Lithos*, 79(3–4): 491–504.
<https://doi.org/10.1016/j.lithos.2004.09.014>
- Coulon, C., Maluski, H., Bollinger, C. and Wang, S., 1986. Mesozoic and cenozoic volcanic rocks from central and southern Tibet: ^{39}Ar - ^{40}Ar dating, petrological characteristics and geodynamical significance. *Earth and Planetary Science Letters*, 79(3–4): 281–302.
[https://doi.org/10.1016/0012-821X\(86\)90186-X](https://doi.org/10.1016/0012-821X(86)90186-X)
- Cox, K.G., Bell, J.D. and Punkhurst, R.J., 1979. The Interpretation of Igneous Rocks. Allen and Unwin, Winchester, 450 pp.
<https://doi.org/10.1007/978-94-017-3373-1>
- Deniel, C., Aydar, E. and Gourgaud, A., 1998. The Hasan Dagi stratovolcano (Central Anatolia, Turkey): Evolution from calc-alkaline to alkaline magmatism in a collision zone. *Journal of Volcanology and Geothermal Research*, 87(1–4): 275–302.
[https://doi.org/10.1016/S0377-0273\(98\)00097-3](https://doi.org/10.1016/S0377-0273(98)00097-3)
- DePaolo, D.J. and Daley, E.E., 2000. Neodymium isotopes in basalts of the southwest basin and range and lithospheric thinning during continental extension. *Chemical Geology*, 169(1–2): 157–185.
[https://doi.org/10.1016/S0009-2541\(00\)00261-8](https://doi.org/10.1016/S0009-2541(00)00261-8)
- Djokovic, I., Cvetic, S. and Dimitrijevic, M.D., 1973. Geological map of Iran, scale 1:100,000, sheet 6951-Dehaj. Geological Survey of Iran.
- Ellam, R.M., 1992. Lithospheric thickness as a control on basalt geochemistry. *Geology*, 20(2): 153–156.
[https://doi.org/10.1130/0091-7613\(1992\)020<0153:LTAACO>2.3.CO;2](https://doi.org/10.1130/0091-7613(1992)020<0153:LTAACO>2.3.CO;2)
- Fan, W.M., Gue, F., Wang, Y.J. and Lin, G., 2003. Late Mesozoic calc-alkaline volcanism of orogenic extension in the northern Da Hinggan mountains, northern China. *Journal of Volcanology and Geothermal Research*, 121(1–2): 115–135.
[https://doi.org/10.1016/S0377-0273\(02\)00415-8](https://doi.org/10.1016/S0377-0273(02)00415-8)
- Farmer, G.L., 2007. Continental basaltic rocks. *Treatise on Geochemistry*, 3: 1–39.
<https://doi.org/10.1016/B0-08-043751-6/03019-X>
- Forster, H., Fesefeldt, K. and Kurster, M., 1972. Magmatic and orogenic evolution of the central Iranian volcanic belt. 24th International Geology Congress, University of Montreal, Montreal, Canada.
- Furman, T., 2007. Geochemistry of East African Rift basalts: An overview. *Journal of African Earth Sciences*, 48(2–3): 147–160.
<https://doi.org/10.1016/j.jafrearsci.2006.06.009>
- Ghasemi, H. and Fattah, A.A., 2004. Neogene magmatism in Sarvelayat district, south of Quchan. 8th Symposium of Geological Society of Iran, Iranian Geological Society, Shahrood University of Technology, Shahrood, Iran. (in Persian with English abstract)
- Gill, J.B., 1981. Orogenic andesites and plate tectonics. Springer-Verlag, Berlin, Heidelberg, New York, 390 pp.
<https://doi.org/10.1007/978-3-642-68012-0>
- Graviou, P., 1984. Pétrogenèse des magmas calco-alkalins: exemple des granitoïdes cadomiens de la région trégorroise (Massif Armorican). Université de Rennes, Rennes, 236 pp.
- Guo, Z., Wilson, M., Liu, J. and Mao, Q., 2006. Post-collisional, Potassic and Ultrapotasssic Magmatism of the Northern Tibetan Plateau: Constraints on Characteristics of the Mantle Source, Geodynamic Setting and Uplift Mechanisms. *Journal of Petrology*, 47(6):

- 1177–1220.
<https://doi.org/10.1093/petrology/egl007>
- Halama, R., Joron, J.L., Villemant, B., Markl, G. and Treuil, M., 2007. Trace element constraints on mantle sources during mid-Proterozoic magmatism: evidence for a link between the Gardar (South Greenland) and Abitibi (Canadian Shield) mafic rocks. Canadian Journal of Earth Sciences, 44(4): 459–478.
<https://doi.org/10.1139/e06-108>
- Hanson, G.N., 1980. Rare earth elements in petrogenetic studies of igneous systems. Annual Review of Earth Planetary Sciences, 8(1): 371–406.
<https://doi.org/10.1146/annurev.ea.08.050180.002103>
- Hastie, A.R., Kerr, A.C., Pearce, J.A. and Mitchell, S.F., 2007. Classification of Altered Volcanic Island Arc Rocks using Immobile Trace Elements: Development of the Th-Co Discrimination Diagram. Journal of Petrology, 48(12): 2341–2357.
<https://doi.org/10.1093/petrology/egm062>
- Hawkesworth, C.J., Hergt, J.M., McDermott, F. and Ellam, R.M., 1991. Destructive margin magmatism and the contributions from the mantle wedge and subducted crust. Australian Journal of Earth Sciences, 38(5): 577–594.
<https://doi.org/10.1080/08120099108727993>
- Hofmann, A.W., 1997. Mantle geochemistry: the message from oceanic volcanism. Nature, 385(6613): 219–229.
<https://doi.org/10.1038/385219a0>
- Hofmann, A.W., Jochum, K.P., Seufert, M. and White, W.M., 1986. Nb and Pb in oceanic basalts: new constraints on mantle evolution. Earth and Planetary Science Letters, 79(1–2): 33–45.
[https://doi.org/10.1016/0012-821X\(86\)90038-5](https://doi.org/10.1016/0012-821X(86)90038-5)
- Hosseini, S.Z., 2010. Mineralogy, geochemistry and petrogenesis evolution of Pleistocene post collisional volcanism in N-NW of Shahre-Babak. Ph.D. Thesis, Shahid Bahonar University, Kerman, Iran, 253 pp.
- Irvine, T.N. and Baragar, W.R.A., 1971. A guide to the chemical classification of the common volcanic rocks. Canadian Journal of Earth Sciences, 8(5): 523–548.
<https://doi.org/10.1139/e71-055>
- Jochum, K.P., Arndt, N.T. and Hofmann, A.W., 1991. Nb-Th-La in komatiites and basalts: constraints on komatiite petrogenesis and mantle evolution. Earth and Planetary Science Letters, 107(2): 272–289.
[https://doi.org/10.1016/0012-821X\(91\)90076-T](https://doi.org/10.1016/0012-821X(91)90076-T)
- Jolivet, L. and Faccenna, C., 2000. Mediterranean extension and the Africa-Eurasia collision. Tectonics, 19(6): 1095–1106.
<https://doi.org/10.1029/2000TC900018>
- Jung, D., Kursten, M.O.C. and Tarkian, M., 1976. Post-Mesozoic volcanism in Iran and its relation to the subduction of the afro-Arabian under the Eurasian plate. In: A. Pilger and A. Rosler (Editors), Afar between continental and oceanic rifting. E. Schweizerbart'sche Verlagsbuchhandlung, Stuttgart, pp. 175–181.
- Retrieved March 8, 2021 from https://www.schweizerbart.de/publications/detail/isbn/9783510650705/Afar_Vol_II_Between_n_Continental_and
- Juteau, T. and Maury, R., 1997. Géologie de la croûte océanique: pétrologie et dynamique endogènes. Masson, Paris, 367 pp.
- Kamber, B.S., Ewart, A., Collerson, K.D., Bruce, M.C. and McDonald, G.D., 2002. Fluid-mobile trace element constraints on the role of slab melting and implications for Archaean crustal growth models. Contributions to Mineralogy and Petrology, 144(1): 38–56.
<https://doi.org/10.1007/s00410-002-0374-5>
- Karimpour, M.H., Malekzadeh Shafaroudi, A., Farmer, G.L. and Stern, C.R., 2012. Petrogenesis of Granitoids, U-Pb zircon geochronology, Sr-Nd Petrogenesis of granitoids, U-Pb zircon geochronology, Sr-Nd isotopic characteristics, and important occurrence of Tertiary mineralization within the Lut block, eastern Iran. Journal of Economic Geology, 4(1): 1–27. (in Persian with English abstract)
<https://doi.org/10.22067/econg.v4i1.13391>
- Keskin, M., Pearce, J.A. and Mitchell, J.G., 1998. Volcano-stratigraphy and geochemistry of collision-related volcanism on the Erzurum-Kars Plateau, northeastern Turkey. Journal of Volcanology and Geothermal Research, 85(1–4): 355–404.
[https://doi.org/10.1016/S0377-0273\(98\)00063-8](https://doi.org/10.1016/S0377-0273(98)00063-8)
- Kuscu, G.G. and Geneli, F., 2010. Review of post-collisional volcanism in the Central Anatolian Volcanic Province (Turkey), with special

- reference to the Tepekyoy Volcanic Complex. *International Journal of Earth Sciences*, 99(3): 593–621. <https://doi.org/10.1007/s00531-008-0402-4>
- LaFlèche, M.R., Camire, G. and Jenner, G.A., 1998. Geochemistry of post-Acadian, Carboniferous continental intraplate basalts from the Maritimes Basin, Magdalen islands, Quebec, Canada. *Chemical Geology*, 148(3–4): 115–136. [https://doi.org/10.1016/S0009-2541\(98\)00002-3](https://doi.org/10.1016/S0009-2541(98)00002-3)
- Lallemand, S., Huchon, P., Jolivet, L. and Prouteau, G., 2005. Convergence lithosphé'rique. Vuibert, Paris, 182 pp.
- Lentz, D.R., 1998. Petrogenetic evolution of felsic volcanic sequences associated with Phanerozoic volcanic-hosted massive sulphide systems: the role of extensional geodynamics. *Ore Geology Reviews*, 12(5): 289–327. [https://doi.org/10.1016/S0169-1368\(98\)00005-5](https://doi.org/10.1016/S0169-1368(98)00005-5)
- Malekian Dastjerdi, M., Mohammadi, S.S., Nakhaei, M. and Zarrinkoub, M.H., 2017. Geochemistry and tectonomagmatic setting of Tertiary volcanic rocks of the Kangan area, northeast of Sarbisheh, southern Khorasan. *Journal of Economic Geology*, 8(2): 553–568. (in Persian with English abstract) <https://doi.org/10.22067/econg.v8i2.54029>
- McDonough, W.F. and Sun, S.S., 1995. The composition of the Earth. *Chemical Geology*, 120(3–4): 223–253. [https://doi.org/10.1016/0009-2541\(94\)00140-4](https://doi.org/10.1016/0009-2541(94)00140-4)
- McQuarrie, N., Stock, J.M., Verdel, C. and Wernicke, B.P., 2003. Cenozoic evolution of Neotethys and implications for the causes of plate motions. *Geophysical Research Letters*, 30(20): 2036. <https://doi.org/10.1029/2003GL017992>
- Menzies, M.A. and Wass, S.Y., 1983. CO₂ and LREE-rich mantle below eastern Australia: a REE and isotopic study of alkaline magmas and apatite-rich mantle xenoliths from the southern highlands province, Australia. *Earth Planetary Science Letters*, 65(2): 287–302. [https://doi.org/10.1016/0012-821X\(83\)90167-X](https://doi.org/10.1016/0012-821X(83)90167-X)
- Meshesha, D. and Shinjo, R., 2007. Crustal contamination and diversity of magma sources in the northwestern Ethiopian volcanic province. *Journal of Mineralogical and Petrological Sciences*, 102(5): 272–290. <https://doi.org/10.2465/jmps.061129>
- Middlemost, E.A.K., 1994. Naming materials in the magma/igneous rock system. *Earth-Science Reviews*, 37(3–4): 215–224. [https://doi.org/10.1016/0012-8252\(94\)90029-9](https://doi.org/10.1016/0012-8252(94)90029-9)
- Moore, F. and Modabberi, S., 2001. Plate tectonics and geological processes. Koosha Mehr Publications, Shiraz, 467 pp. (in Persian)
- Nelson, S.T. and Montana, A., 1992. Sieve-textured plagioclase in volcanic rocks produced by rapid decompression. *American Mineralogist*, 77(11–12): 1242–1249. Retrieved March 8, 2021 from <https://pubs.geoscienceworld.org/msa/ammin/article-abstract/77/11-12/1242/42641/Sieve-textured-plagioclase-in-volcanic-rocks?redirectedFrom=fulltext>
- Omrani, J., Agard, P., Whitechurch, H., Benoit, M., Prouteau, G. and Jolivet, L., 2008. Arc magmatism and subduction history beneath the Zagros Mountains, Iran: a new report of adakites and geodynamic consequences. *Lithos*, 106(3–4): 380–398. <https://doi.org/10.1016/j.lithos.2008.09.008>
- Özdemir, Y. and Güleç, N., 2014. Geological and Geochemical Evolution of the Quaternary Süphan Stratovolcano, Eastern Anatolia, Turkey: Evidence for the Lithosphere–Asthenosphere Interaction in Post-Collisional Volcanism. *Journal of Petrology*, 55(1): 37–62. <https://doi.org/10.1093/petrology/egt060>
- Pearce, J.A., 1983. Role of the sub-continental lithosphere in magma genesis at active continental margins. In: C.J. Hawkesworth and M.J. Norry (Editors), *Continental Basalts and Mantle Xenoliths*. Shiva, Cheshire, UK., pp. 230–249. Retrieved March 8, 2021 from <http://orca.cf.ac.uk/8626/>
- Pearce, J.A., Bender, J.F., De Long, S.E., Kidd, W.S.F., Low, P.J., Guner, Y., Saroglu, F., Yilmaz, Y., Moorbat, S. and Mitchell, J.G., 1990. Genesis of collision volcanism in eastern Anatolia, Turkey. *Journal of Volcanology and Geothermal Research*, 44(1–2): 189–229. [https://doi.org/10.1016/0377-0273\(90\)90018-B](https://doi.org/10.1016/0377-0273(90)90018-B)
- Pearce, J.A. and Gale, G.H., 1977. Identification of ore-deposition environment from trace-element geochemistry of associated igneous host rocks. *Journal of the Geological Society*, 7(1): 14–24. <https://doi.org/10.1144/GSL.SP.1977.007.01.03>

- Pearce, J.A. and Peate, D.W., 1995. Tectonic implications of the composition of volcanic ARC magmas. *Annual Review of Earth and Planetary Sciences*, 23: 251–285. <https://doi.org/10.1146/annurev.ea.23.050195.001343>
- Peng, B., Sun, F., Li, B., Wang, G., Li, S., Zhao, T., Li, L. and Zhi, Y., 2016. The geochemistry and geochronology of the Xiarihamu II mafic-ultramafic complex, Eastern Kunlun, Qinghai Province, China: Implications for the genesis of magmatic Ni–Cu sulfide deposits. *Ore Geology Reviews*, 73(1): 13–28. <https://doi.org/10.1016/j.oregeorev.2015.10.014>
- Reiners, P.W., Nelson, B.K. and Nelson, S.W., 1996. Evidence for multiple mechanisms of crustal contamination of magma from compositionally zoned plutons and associated ultramafic intrusions of the Alaska Range. *Journal of Petrology*, 37(2): 261–292. <https://doi.org/10.1093/petrology/37.2.261>
- Richards, J.P., Spell, T., Rameh, E., Razique, A. and Fletcher, T., 2012. High Sr/Y Magmas Reflect Arc Maturity, High Magmatic Water Content, and Porphyry Cu ± Mo ± Au Potential: Examples from the Tethyan Arcs of Central and Eastern Iran and Western Pakistan. *Economic Geology*, 107(2): 295–332. <https://doi.org/10.2113/econgeo.107.2.295>
- Ringwood, A.E., 1990. Slab-mantle interactions: 3. Petrogenesis of intraplate magmas and structure of the upper mantle. *Chemical Geology*, 82: 187–207. [https://doi.org/10.1016/0009-2541\(90\)90081-H](https://doi.org/10.1016/0009-2541(90)90081-H)
- Rollinson, H.R., 1993. Using geochemical data: evaluation, presentation, interpretation. Longman Scientific and Technical, London. 352 pp.
- Schandl, E.S. and Gorton, M.P., 2002. Application of high field strength elements to discriminate tectonic settings in VMS environments. *Economic Geology*, 97(3): 629–642. <https://doi.org/10.2113/gsecongeo.97.3.629>
- Senyah, G.A., Dampare, S.B. and Asiedu, D.K., 2016. Geochemistry and tectonic setting of the Paleoproterozoic metavolcanic rocks from the Chirano Gold District, Sefwi belt, Ghana. *Journal of African Earth Sciences*, 122: 32–46. <https://doi.org/10.1016/j.jafrearsci.2015.07.022>
- Shahabpour, J., 2007. Island-arc affinity of the Central Iranian Volcanic Belt. *Journal of Asian Earth Sciences*, 30(5): 652–665. <https://doi.org/10.1016/j.jseaes.2007.02.004>
- Shervais, J.W., 1982. Ti–V plots and the petrogenesis of modern and ophiolitic lavas. *Earth and Planetary Science Letters*, 59(1): 101–118. [https://doi.org/10.1016/0012-821X\(82\)90120-0](https://doi.org/10.1016/0012-821X(82)90120-0)
- Smith, E.I., Sánchez, A., Walker, J.D. and Wang, K., 1999. Geochemistry of mafic magmas in the Hurricane volcanic field, Utah: Implications for small- and large-scale chemical variability of the lithospheric mantle. *The Journal of Geology*, 107(4): 433–448. <https://doi.org/10.1086/314355>
- Smithies, R.H. and Champion, D.C., 2000. The Archaean high-Mg diorite suite: links to tonalite-trondhjemite-granodiorite magmatism and implications for Early Archaean crustal growth. *Journal of Petrology*, 41(12): 1653–1671. <https://doi.org/10.1093/petrology/41.12.1653>
- Srivastava, R.K. and Singh, R.K., 2004. Trace element geochemistry and genesis of Precambrian sub-alkaline mafic dikes from the central Indian craton: evidence for mantle metasomatism. *Journal of Asian Earth Sciences*, 23(3): 373–389. [https://doi.org/10.1016/S1367-9120\(03\)00150-0](https://doi.org/10.1016/S1367-9120(03)00150-0)
- Sun, S.S. and McDonough, W.F., 1989. Chemical and isotopic systematics of oceanic basalts: implications for mantle composition and processes. In: A.D. Saunders and M.J. Norry (Editors), *Magmatism in ocean basins*. Geological Society, Special Publication, London, pp. 313–345. <https://doi.org/10.1144/GSL.SP.1989.042.01.19>
- Tabbakh Shabani, A.A., Delavari Kooshan, M. and Hajiabdolrahim Khabbaz, M., 2018. Geochemistry and Mineral Chemistry of Zeolites Bearing Basic Volcanic Rocks from the Boumehen-Roudehen Area, East of Tehran. *Journal of Economic Geology*, 9(2): 397–418. (in Persian with English abstract) <https://doi.org/10.22067/econg.v9i2.49478>
- Temizel, I., Arslan, M., Yücel, C., Abdioğlu, E. and Ruffet, G., 2016. Geochronology and geochemistry of Eocene-aged volcanic rocks

- around the Bafra (Samsun, N Turkey) area: Constraints for the interaction of lithospheric mantle and crustal melts. *Lithos*, 258–259: 92–114.
<https://doi.org/10.1016/j.lithos.2016.04.023>
- Verma, S.P., 2009. Continental rift setting for the central part of Mexican volcanic belt: A statistical approach. *The Open Geology Journal*, 3(1): 8–29.
<https://doi.org/10.2174/1874262900903010008>
- Vincent, S.J., Allen, M.B., Ismail-zadeh, A.D., Flecker, R., Foland, K.A. and Simmons, M.D., 2005. Insights from the Talysh of Azerbaijan into the Paleogene evolution of the South Caspian region. *Geological Society of America Bulletin*, 117(11–12): 1513–1533.
<https://doi.org/10.1130/B25690.1>
- Whitney, D.L. and Evans, B.W., 2010. Abbreviations for names of rock-forming minerals. *American Mineralogist*, 95(1): 185–187. <https://doi.org/10.2138/am.2010.3371>
- Wilson, M., 1989. Igneous petrogenesis: a global tectonic approach. Unwin Hyman, London, 466 pp. <https://doi.org/10.1007/978-1-4020-6788-4>
- Winter, J.D., 2001. An Introduction to Igneous and Metamorphic Petrology. Prentice Hall Inc, New Jersey, 697 pp.
- Wood, D.A., 1980. The application of a Th-Hf-Ta diagram to problems of tectonomagmatic classification and to establishing the nature of crustal contamination of basaltic lavas of the British Tertiary volcanic province. *Earth and Planetary Science Letters*, 50(1): 11–30.
[https://doi.org/10.1016/0012-821X\(80\)90116-8](https://doi.org/10.1016/0012-821X(80)90116-8)
- Zanetti, A., Mazzucchelli, M., Rivalenti, G. and Vannucci, R., 1999. The Finro phlogopite-peridotite massif: an example of subduction-related metasomatism. *Contribution to Mineralogy and Petrology*, 134(2–3): 107–122.
<https://doi.org/10.1007/s004100050472>
- Zhang, W., Chen, H., Han, J., Zhao, L., Huang, J., Yang, J. and Yan, X., 2016. Geochronology and geochemistry of igneous rocks in the Bailingshan area: Implications for the tectonic setting of late Paleozoic magmatism and iron skarn mineralization in the eastern Tianshan, NW China. *Gondwana Research*, 38: 40–59.
<https://doi.org/10.1016/j.gr.2015.10.011>

COPYRIGHTS

©2021 The author(s). This is an open access article distributed under the terms of the Creative Commons Attribution (CC BY 4.0), which permits unrestricted use, distribution, and reproduction in any medium, as long as the original authors and source are cited. No permission is required from the authors or the publishers.



How to cite this article

Golestani, M., 2021. Investigation of petrology and petrogenesis of the Gaz Boland Neogene basalts, northwest of Shahr-e-Babak. *Journal of Economic Geology*, 13(3): 601–626. (in Persian with English abstract) <https://dx.doi.org/10.22067/econg.v13i3.88183>



Investigation of petrology and petrogenesis of the Gaz Boland Neogene basalts, northwest of Shahr-e-Babak

Malihe Golestani*

Department of Geology, Faculty of Basic Sciences, University of Velayat, Iranshahr, Iran

Submitted: Aug. 10, 2020

Accepted: Apr. 17, 2021

Keywords: Basalt, Volcanic arc, Garnet-bearing lherzolite, Gaz Boland, Shahr-e-Babak

Introduction

The Gaz Boland area is located in the northwest of Shahr-e-Babak city within the southern extension of the Urumieh-Dokhtar magmatic arc. The extended convergence history of the Neo-Tethys Ocean between Arabia and Eurasia (from ~150 to 0 Ma) comprised of a long-lasting period of subduction followed by continental collision during the Tertiary (Omrani et al., 2008). Following the collision, volcanism continued dramatically in some parts of the Urumieh-Dokhtar volcanic-plutonic belt, such as Pleistocene basic volcanism in the Shahr-e-Babak area in western Kerman. Thus, Neogene basalts in the Gaz Boland area in Kerman are known as the last magmatic activity of this part of Iran.

Materials and methods

Ten samples of volcanic rocks were selected for geochemical analyses. All samples were analyzed for major elements by X-ray fluorescent (XRF) and trace elements using Inductively Coupled Plasma Mass Spectrometry (ICP-MS), in the Kansaran Binaloud Co., Iran. The results of the analyses were evaluated using the GCDKIT software package.

Results

Plio-Pleistocene basaltic rocks are the youngest volcanic activity in the Gaz Boland area. The main texture of these rocks is porphyric with microlithic form and they contain major minerals of olivine, clinopyroxene, and plagioclase. Based on geochemical data, the volcanic rocks of the Gaz

Boland region have been derived from a calc-alkaline magma. Moreover, examination of trace element diagrams of these lavas indicates that magma is related to the subduction zone and active continental margin. Based on various elemental ratios and diagrams, the volcanic rock-forming magma in the Gaz Boland area have been derived from the asthenospheric mantle deep in the subduction zone. The source rock composition of these basalts is garnet-bearing lherzolite, which has been slightly enriched during the subduction process by fluids originating from the subducting oceanic crust. The rock-forming magma was also contaminated by the continental crust during the ascent and has endured the AFC process.

Discussion

The Gaz Boland calc-alkaline basalts show enrichment in LILE, LREE, Th, and U, but depletion in HFSE (Ta, Ti, and Hf) and HREE. These rocks show characteristics of subduction-related (active) continental margin tectonic environments. According to the Sm vs. Sm/Yb diagram (Aldanmaz et al., 2000), the Gaz Boland samples were plotted in the partial melting range of about 10 to 15% of a garnet-rich lherzolite source. Asthenospheric mantle-derived magmas have Nb/La ratios > 1 or La/Nb ≈ 0.7 . A low Nb/La ratio (< 0.5) indicates lithospheric mantle and high Nb/La ratio (> 1) indicates asthenospheric mantle (Smith et al., 1999). On the other hand, lithospheric mantle-dependent magmas have a La/Nb ratio greater than 1, whereas, in asthenospheric mantle-derived magmas, it is about 0.7 (DePaolo and Daley, 2000). In volcanic rocks of the study area,

*Corresponding author Email: m.golestani@velayat.ac.ir

DOI: <https://dx.doi.org/10.22067/econg.v13i3.88183>

La/Nb and Nb/La ratios are 0.2 to 0.7 and 1.5 to 4.8, respectively. In addition, volcanic arcs can be classified into highly enriched and poorly enriched categories based on Ce/Yb ratios. Enriched arcs are defined as having Ce/Yb >15 (Hawkesworth et al., 1991; Juteau and Maury 1997). The mean Ce/Yb of the Gaz Boland rocks is 9.7 which defines a poorly enriched arc signature. Certain chemical parameters can be used to assess the degree of contamination. For example, basaltic rocks affected by crustal contamination exhibit La/Ta ratios > 22 (Abdel-Rahman and Nassar, 2004) and Nb/Th ratios < 5 (Condie, 2003). The values of such elemental ratios in the Gaz Boland basalts are 18 to 64 and 3 to 5, respectively (Table 1), which suggest that the magma was subjected to crustal contamination.

References

- Abdel-Rahman, A.F.M. and Nassar, P.E., 2004. Cenozoic volcanism in the Middle East: petrogenesis of alkali basalts from northern Lebanon. *Geological Magazine*, 141(5): 545–563.
<https://doi.org/10.1017/S0016756804009604>
- Aldanmaz, E., Pearce, J.A., Thirlwall, M.F. and Mitchell, J.G., 2000. Petrogenetic evolution of Late Cenozoic, post-collision volcanism in western Anatolia, Turkey. *Journal of Volcanology and Geothermal Research*, 102(1–2): 67–95. [https://doi.org/10.1016/S0377-0273\(00\)00182-7](https://doi.org/10.1016/S0377-0273(00)00182-7)
- Condie, K.C., 2003. Incompatible element ratios in oceanic basalts and komatiites: Tracking deep mantle sources and continental growth rates with time. *Geochemistry Geophysics Geosystems*, 4(1): 1–28. <https://doi.org/10.1029/2002GC000333>
- DePaolo, D.J. and Daley, E.E., 2000. Neodymium isotopes in basalts of the southwest basin and range and lithospheric thinning during continental extension. *Chemical Geology*, 169(1–2): 157–185. [https://doi.org/10.1016/S0009-2541\(00\)00261-8](https://doi.org/10.1016/S0009-2541(00)00261-8)
- Hawkesworth, C.J., Herdt, J.M., McDermott, F. and Ellam, R.M., 1991. Destructive margin magmatism and the contributions from the mantle wedge and subducted crust. *Australian Journal of Earth Sciences*, 38(5): 577–594. <https://doi.org/10.1080/08120099108727993>
- Juteau, T. and Maury, R., 1997. Géologie de la croûte océanique: pétrologie et dynamique endogènes. Masson, Paris, 367 pp.
- Omraní, J., Agard, P., Whitechurch, H., Benoit, M., Prouteau, G. and Jolivet, L., 2008. Arc magmatism and subduction history beneath the Zagros Mountains, Iran: a new report of adakites and geodynamic consequences. *Lithos*, 106(3–4): 380–398. <https://doi.org/10.1016/j.lithos.2008.09.008>
- Smith, E.I., Sánchez, A., Walker, J.D. and Wang, K., 1999. Geochemistry of mafic magmas in the Hurricane volcanic field, Utah: Implications for small- and large-scale chemical variability of the lithospheric mantle. *The Journal of Geology*, 107(4): 433–448. <https://doi.org/10.1086/314355>